



บทที่ 2 ทฤษฎีและงานวิจัยที่เกี่ยวข้อง

ในบทนี้จะกล่าวถึงทฤษฎีเบื้องต้นที่เกี่ยวข้องกับฟิล์ม DLC ได้แก่ รูปแบบการจัดเรียงตัวของอะตอมคาร์บอนและเทคนิคต่างๆ ที่ใช้สังเคราะห์ฟิล์ม DLC โดยเฉพาะเทคนิค RF-PECVD ที่ใช้สังเคราะห์ฟิล์ม DLC ในงานวิจัยนี้ รวมถึงเทคนิคการวัดค่าพารามิเตอร์ของพลาสมาที่เกิดขึ้นในระบบด้วยหัววัดลางมัวร์ วิธีการตรวจสอบสมบัติของฟิล์มด้วยกล้องจุลทรรศน์อิเล็กตรอนแบบส่องกวาดและรามานสเปกโทรสโกปี รวมทั้งงานวิจัยที่เกี่ยวข้องกับการศึกษาสมบัติทางฟิสิกส์ของฟิล์ม DLC

2.1 คาร์บอนในโครงสร้างผลึก

ธาตุคาร์บอนเป็นองค์ประกอบสำคัญในฟิล์ม DLC การจัดเรียงตัวของอะตอมคาร์บอนมีผลต่อโครงสร้างและสมบัติของฟิล์มโดยตรง ดังนั้นความรู้ความเข้าใจถึงรูปแบบการจัดเรียงตัวของอะตอมคาร์บอนจึงมีส่วนสำคัญอย่างมากในการศึกษาสมบัติของฟิล์ม DLC

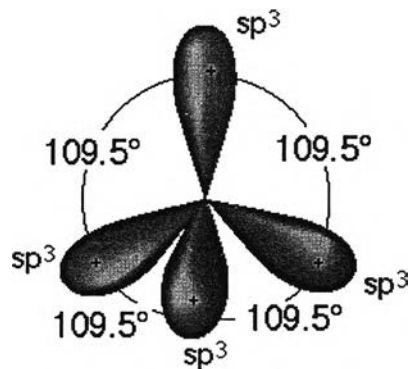
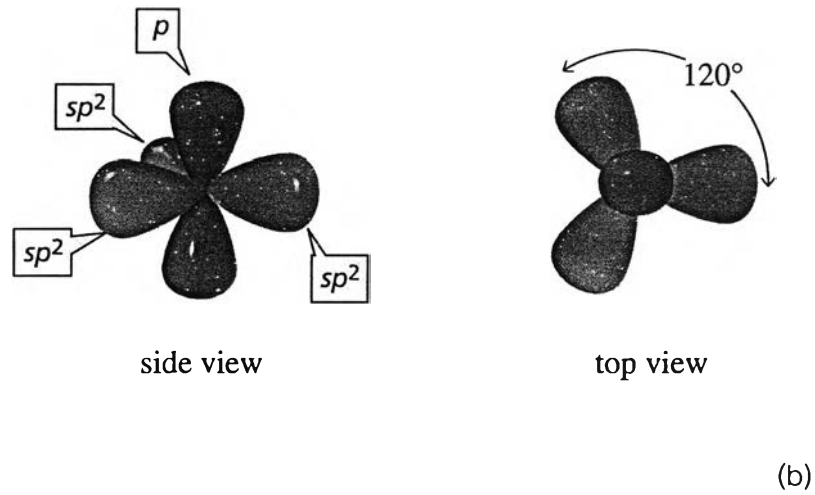
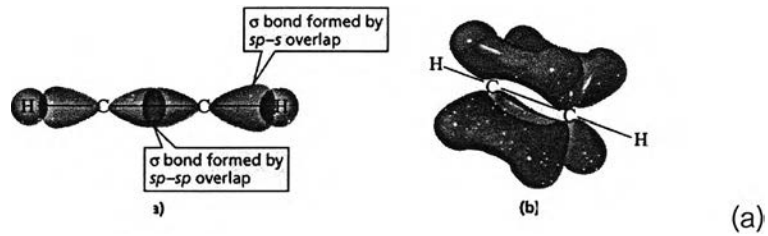
2.1.1 ออร์บิทัลลูกผสมหรือไฮบริดออร์บิทัล

ไฮบริไดเซชัน (Hybridization) เป็นกระบวนการผสมออร์บิทัลต่างๆ ที่มีพลังงานใกล้เคียงกันของอะตอมเดียวกัน เกิดเป็นออร์บิทัลใหม่ที่เหมือนกันและมีพลังงานเท่ากันทั้งหมด เรียกว่า ออร์บิทัลลูกผสมหรือไฮบริดออร์บิทัล (Hybrid orbital) ไฮบริดออร์บิทัลที่ได้จะมีจำนวนเท่ากับออร์บิทัลที่มาผสมกันและมีความแข็งแรงมากกว่าเดิม ไฮบริดออร์บิทัลจะมีทิศทางเฉพาะตัวที่ช่วยทำนายรูปร่างและมุมระหว่างพันธะในโมเลกุล โดยทิศทางของไฮบริดออร์บิทัลขึ้นกับรูปแบบของการเกิดไฮบริไดเซชัน ซึ่งมี 3 แบบ [11] ดังนี้

1. sp^1 -ไฮบริไดเซชัน (Linear หรือ Diagonal hybridization) เป็นการรวม s และ p อย่างละหนึ่งออร์บิทัล ได้ออร์บิทัลลูกผสม sp^1 - ไฮบริดออร์บิทัล (sp^1 - hybrid orbital) จำนวน 2 ออร์บิทัลและมี p จำนวน 2 ออร์บิทัลที่ไม่ได้ใช้ในการไฮบริด รูปที่ 2.1 (a) แสดง sp^1 -ไฮบริไดเซชันซึ่งมีรูปร่างเป็นเส้นตรง (linear) มีมุม 180°

2. sp^2 -ไฮบริไดเซชัน (Trigonal hybridization) เป็นการรวม s หนึ่งออร์บิทัล กับ p สองออร์บิทัลเกิดเป็นสาม sp^2 ไฮบริดออร์บิทัลซึ่งอยู่ในระนาบเดียวกัน รูปที่ 2.1 (b) แสดง sp^2 -ไฮบริไดเซชัน รูปร่างเป็นทรงสามเหลี่ยมอยู่ในระนาบเดียวกันทำมุม 120°

3. sp^3 -ไฮบริดเซชัน (Tetrahedral hybridization) เป็นการรวม s หนึ่งออร์บิทัล กับ p สามออร์บิทัลเกิดเป็นสี่ sp^3 ไฮบริดออร์บิทัลที่ชี้ไปยังมุมทั้งสี่ของรูปทรงสี่หน้า รูปที่ 2.1 (c) แสดง sp^3 -ไฮบริดเซชันซึ่งเป็นรูปทรงสี่หน้ามีมุมภายใน 109.5°

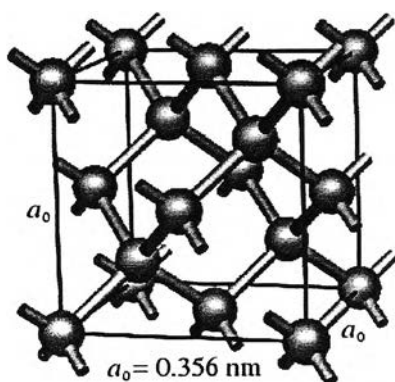


รูปที่ 2.1 (a) sp^1 -ไฮบริดเซชัน (Linear หรือ Diagonal hybridization) รูปร่างเป็นเส้นตรง (linear) มีมุม 180° (b) sp^2 -ไฮบริดเซชัน (Trigonal hybridization) ทรงสามเหลี่ยมอยู่ในระนาบเดียวกัน ทำมุม 120° (c) sp^3 -ไฮบริดเซชัน (Tetrahedral hybridization) รูปทรงสี่หน้ามีมุมภายใน 109.5°

คาร์บอน (Carbon) อยู่หมู่ที่ 4 มีโครงสร้างทางอิเล็กทรอนิกส์ (Electronic configuration) เป็น $1s^2 2s^2 2p^2$ มีเวเลนซ์อิเล็กตรอนเท่ากับ 4 ดังนั้น เมื่อคาร์บอนรวมกับธาตุอื่น จะสร้างพันธะโควาเลนต์โดยใช้เวเลนซ์อิเล็กตรอนร่วมกับอะตอมของธาตุอื่น เพื่อให้มีเวเลนซ์อิเล็กตรอนครบ 8 นอกจากนี้อะตอมของคาร์บอนยังสามารถสร้างพันธะกับคาร์บอนอีกอะตอมหนึ่ง ได้ทั้ง พันธะเดี่ยว (C - C) พันธะคู่ (C = C) หรือพันธะสาม (C \equiv C) เมื่อคาร์บอนเกิดสารประกอบจะจัดตัวใหม่ จะซ้อนกันมากที่สุดเพื่อให้เกิดพันธะที่แข็งแรง จึงทำให้เกิดการไฮบริดเซชันซึ่งเป็นไปได้ทั้ง sp^1 , sp^2 และ sp^3 ไฮบริดเซชัน ขึ้นกับว่าคาร์บอนนั้นจะใช้อิเล็กตรอนเดี่ยวกี่ตัวในการเกิดพันธะโควาเลนต์กับอะตอมอื่น ทำให้คาร์บอนเป็นธาตุโลหะที่มีหลายอัญรูป อัญรูปที่สำคัญของคาร์บอนได้แก่ เพชรและแกรไฟต์

2.1.2 เพชร

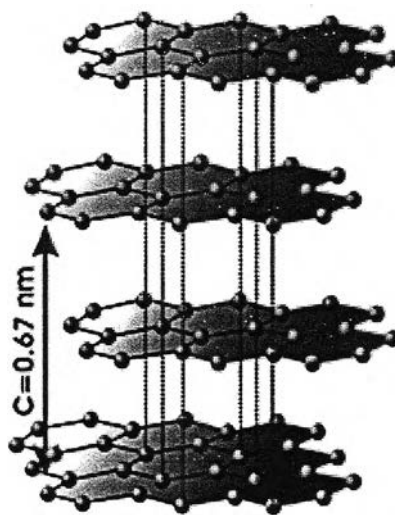
เพชร (Diamond) ประกอบด้วยธาตุคาร์บอน ซึ่งคาร์บอนแต่ละอะตอมสร้างพันธะเคมีแบบทรงสี่หน้า (Tetrahedron) เกิดไฮบริดเซชันแบบ sp^3 ไฮบริดออร์บิทัล อิเล็กตรอนเวเลนซ์ทั้ง 4 ตัวในอะตอมคาร์บอนสร้างพันธะซิกมา (σ) ซึ่งเป็นพันธะที่แข็งแรงที่สุดกับอะตอมใกล้เคียง รูปที่ 2.2 แสดงโครงสร้างของเพชรซึ่งประกอบด้วยอะตอมคาร์บอนที่สร้างพันธะซิกมากับอะตอมใกล้เคียงในทุกทิศทาง มีความยาวพันธะ $a_0 = 0.35$ nm [12] เนื่องจากคาร์บอนในเพชรมีการจัดเรียงตัวกันหนาแน่นที่สุด ด้วยพันธะที่มีพลังงานสูง เป็นผลให้เพชรเป็นวัสดุที่มีความแข็งแกร่งมากที่สุด สภาพความนำความร้อนสูงถึง 2000-2500 W/m-K [3] ซึ่งมากกว่าเงิน ซึ่งมีสภาพความนำความร้อนรองลงมาถึง 5 เท่า สภาพต้านทานไฟฟ้าสูงถึง 10^{13} - 10^{16} Ω -cm โปร่งแสงในช่วงกว้าง ตั้งแต่ช่วงแสงที่ตามองเห็นจนถึงช่วงอินฟราเรดย่านไกลและยังเฉื่อยต่อปฏิกิริยาเคมี จึงมีการนำเอาเพชรไปประยุกต์ใช้งานด้านต่างๆ เช่น เคลือบวัสดุเพื่อป้องกันรอยขีดข่วนหรือเพื่อเพิ่มความแข็งแกร่ง ใช้เป็นวัสดุระบายความร้อน ในวงจรรีเลย์ทรอนิกส์ เป็นต้น



รูปที่ 2.2 โครงสร้างโมเลกุลของเพชร [12]

2.1.3 แกรไฟต์

แกรไฟต์ (Graphite) ประกอบด้วยธาตุคาร์บอนเช่นเดียวกับเพชรแต่อะตอมคาร์บอนมีพันธะเคมีแบบระนาบสามเหลี่ยม (Trigonal planar) อิเล็กตรอนสร้างไฮบริดออร์บิทัลแบบ sp^2 ไฮบริดออร์บิทัล โดยอิเล็กตรอนเวเลนซ์ 3 ตัวแรกจับพันธะ σ กับอะตอมคาร์บอนในระนาบเดียวกัน ส่วนอิเล็กตรอนเวเลนซ์ตัวสุดท้ายจับกับอะตอมที่อยู่ในระนาบติดกันด้วยพันธะไพ (π) ซึ่งเป็นพันธะที่อ่อนมากเมื่อเทียบกับพันธะ σ เป็นผลให้แกรไฟต์อ่อนมากในระหว่างระนาบ รูปที่ 2.3 แสดงโครงสร้างโมเลกุลของแกรไฟต์ ซึ่งประกอบด้วยอะตอมคาร์บอนที่สร้างพันธะ σ กับอะตอมในระนาบเดียวกันและพันธะ π ระหว่างระนาบทำให้แกรไฟต์มีลักษณะคล้ายแผ่นกระดาษวางซ้อนกัน [13] จากโครงสร้างโมเลกุลที่แตกต่างกันกับเพชรนี้ทำให้แกรไฟต์มีสมบัติแตกต่างจากเพชรหลายประการ อาทิ เช่น นำไฟฟ้าและนำความร้อนได้สูง มีสมบัติเป็นตัวหล่อลื่นแบบแห้งที่ดี มีเสถียรภาพทางความร้อนสูงและเฉื่อยต่อปฏิกิริยาเคมี เป็นต้น จึงมักใช้ทำแบตเตอรี่ โลหะน้ำมันหล่อลื่นบางชนิด ไส้ถ่านไฟฉาย ใช้เป็นตัวลดความเร็วช่วยควบคุมจำนวนอนุภาคนิวตรอนในเครื่องปฏิกรณ์นิวเคลียร์ เป็นต้น

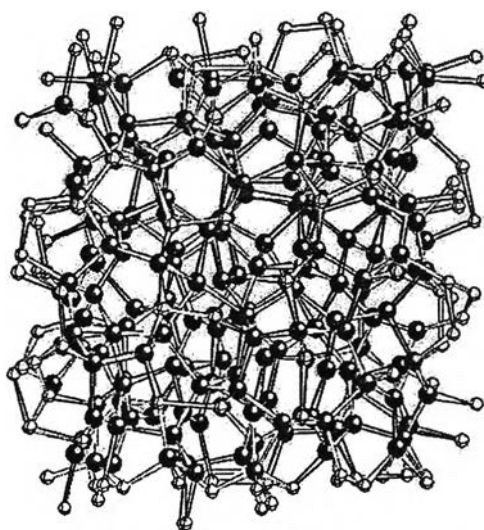


รูปที่ 2.3 โครงสร้างโมเลกุลของแกรไฟต์ [13]

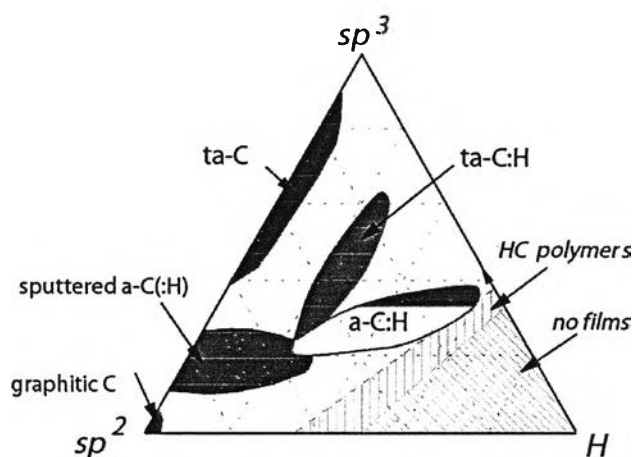
2.2 พิล์ม DLC

2.2.1 โครงสร้างและสมบัติของฟิล์ม DLC

ฟิล์มบางคาร์บอนคล้ายเพชร (Diamond-Like Carbon; DLC) หรือฟิล์ม DLC เป็นฟิล์มที่มีโครงสร้างแบบอสัณฐาน (Amorphous) [7,14] ประกอบด้วยธาตุคาร์บอนเกาะกันอย่างไร้ระเบียบ (Disorder) ดังรูปที่ 2.4 แต่ยังคงมีส่วนผสมของเฟสที่เป็นผลึกในช่วงสั้น (Short-rang order) โดยมี sp^3 และ sp^2 ไฮบริดออร์บิทัลแสดงลักษณะเฉพาะของเพชรและแกรไฟต์ตามลำดับ สมบัติของฟิล์ม DLC ขึ้นกับอัตราส่วนระหว่าง sp^2/sp^3 และปริมาณไฮโดรเจนในฟิล์ม [7,14] ซึ่งขึ้นกับเงื่อนไขและเทคนิคการสังเคราะห์ โดยสามารถจำแนกฟิล์มที่เกิดจากคาร์บอนออกได้เป็นหลายรูปแบบ รูปที่ 2.5 แสดงถึงองค์ประกอบและขีดจำกัดของการสังเคราะห์ฟิล์มคาร์บอน โดยบริเวณที่มีไฮโดรเจนผสมมากจะไม่ปรากฏฟิล์ม หรืออาจเกิดโพลิเมอร์ของสารประกอบไฮโดรคาร์บอน ได้แก่ พอลิเอทิลีน (Polyethylene; $(CH_2)_n$) หรือ พอลิอะซิไทลีน (Polyacetylene; $(CH)_n$) ส่วนบริเวณที่มี sp^2 มากจะเป็นฟิล์มคาร์บอนไร้ระเบียบที่มีสมบัติใกล้เคียงกับแกรไฟต์ แต่ส่วนที่มีไฮโดรเจนผสมอยู่น้อยหรือไม่มีอยู่เลยจะมีสัดส่วนของ sp^3 มากฟิล์มที่ได้ในบริเวณนี้จะมีความแข็งแกร่งสูง มีสมบัติใกล้เคียงกับเพชรมากที่สุด [14]



รูปที่ 2.4 โครงสร้างของฟิล์ม DLC



รูปที่ 2.5 เฟสต่างๆในระบบคาร์บอนโครงสร้างแบบอสัณฐานซึ่งสัมพันธ์กับ ปริมาณไฮโดรเจน sp^2 และ sp^3 ไฮบริดออร์บิทัล [14]

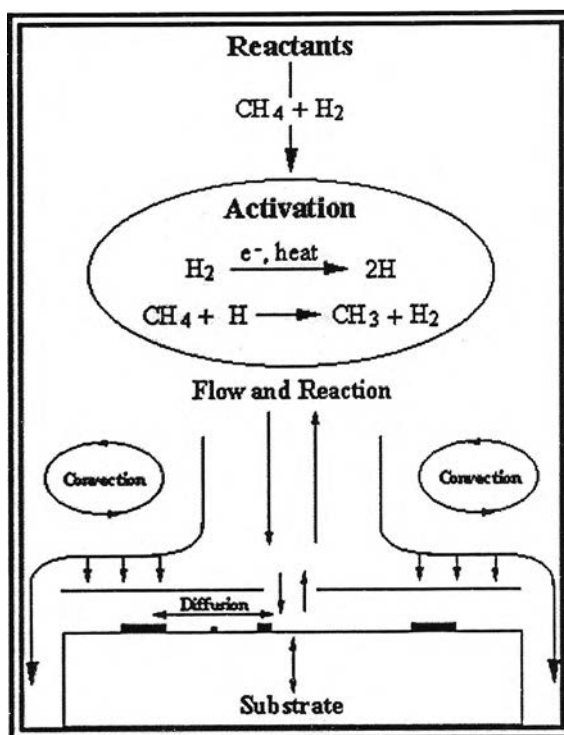
จากสมบัติที่ใกล้เคียงกับเพชร อาทิเช่น สมบัติที่ทนต่อการสึกกร่อน สัมประสิทธิ์ความเสียดทานต่ำ เจือยต่อปฏิกิริยาเคมี โปร่งแสงในช่วงอินฟราเรด สภาพความต้านทานไฟฟ้าสูง และค่าคงที่ไดอิเล็กทริกต่ำ [6, 15] ทำให้ฟิล์ม DLC ได้รับความสนใจอย่างมาก โดยส่วนใหญ่จะถูกนำไปประยุกต์ใช้ทางด้านการเคลือบแข็งเพื่อป้องกันการสึกกร่อน ทางด้านทัศนศาสตร์และทางอิเล็กทรอนิกส์ จากสมบัติที่ยืดติดดี ทนต่อการสึกกร่อน สัมประสิทธิ์ความเสียดทานต่ำและใช้คุณสมบัติในการสังเคราะห์ต่ำกว่าฟิล์มเพชรจึงเหมาะสมต่อการประยุกต์ใช้งานทางด้านการเคลือบผิววัสดุเพื่อเพิ่มประสิทธิภาพและอายุการใช้งาน เช่น การเคลือบบนชิ้นส่วนต่างๆที่ใช้ในงานอุตสาหกรรมที่มีการเสียดสีและใช้งานในสภาพแวดล้อมที่มีความร้อนสูง [4, 15] นิยมเคลือบฟิล์ม DLC บนแถบแม่เหล็กหรือแผ่นบันทึกข้อมูล เนื่องจากสมบัติที่เจือยต่อปฏิกิริยาเคมีและเข้ากับชีวภาพได้ (Biocompatible) จึงสามารถใช้เป็นเครื่องมือทางการแพทย์ เช่น เคลือบฟิล์ม DLC บนแอสเทนเลสเพื่อใช้เป็นลิ้นหัวใจเทียม ใช้เป็นข้อต่อในร่างกาย [7] การใช้งานทางด้านทัศนศาสตร์ เช่น นำเอาฟิล์ม DLC ไปเคลือบบนหน้าต่างทางแสง (Optical window) หรือเลนส์เพื่อป้องกันการขีดข่วนหรือป้องกันการสะท้อนกลับ เคลือบบนแว่นกันแดดเพื่อป้องกันรอยขีดข่วน ส่วนการใช้งานทางด้านอิเล็กทรอนิกส์นั้นมีการนำฟิล์ม DLC ไปเป็นสิ่งประดิษฐ์สำหรับตัวให้อิเล็กตรอน (Electron emitter devices)

2.2.2 เทคนิคการสังเคราะห์ฟิล์ม DLC

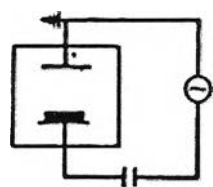
ภายหลังจากที่ S. Aisenberg และ R. Chabot [5] สังเคราะห์ฟิล์ม DLC ขึ้นเป็นครั้งแรกด้วยเทคนิคการยิงลำไอออน C^+ แล้ว ได้มีการคิดค้นและปรับปรุงเทคนิคการสังเคราะห์ฟิล์ม DLC ขึ้นอีกหลากหลายเทคนิค แต่โดยรวมแล้วสามารถจำแนกหลักการพื้นฐานของเทคนิคต่างๆ เหล่านี้ได้เป็น 2 กลุ่ม [16]

กลุ่มแรกได้แก่ กลุ่มการสังเคราะห์เชิงกายภาพ (Physical Vapor Deposition; PVD) ซึ่งกลไกการเกิดฟิล์มนั้นขึ้นกับพลังงานจลน์เพียงอย่างเดียว เช่น การสปัตเทอร์ริงด้วยไฟฟ้า กระแสตรงหรือกระแสสลับที่ความถี่คลื่นวิทยุ (DC/ RF sputtering) และการยิงลำไอออน (Ion beams) เป็นต้น

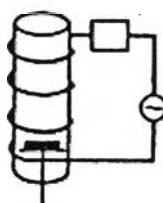
ส่วนกลุ่มที่ 2 ได้แก่ กลุ่มการตกสะสมไอเชิงเคมี (Chemical Vapor Deposition; CVD) ซึ่งกลไกการสังเคราะห์ฟิล์มในแบบ CVD นี้ ขึ้นกับทั้งพลังงานจลน์ (Kinetic energy) และเทอร์โมไดนามิกส์ (Thermodynamic) การสังเคราะห์ฟิล์มแบบ CVD เป็นการกระตุ้นสารตั้งต้นที่อยู่ในสถานะแก๊สให้เกิดการตกสะสมเป็นสารในสถานะของแข็ง รูปที่ 2.6 แสดงกระบวนการเกิดฟิล์มในการสังเคราะห์แบบ CVD โดยเริ่มต้นจาก โมเลกุลแก๊สตั้งต้น (Precursors gas) ซึ่งต้องมีอะตอมของสารที่ต้องการสังเคราะห์รวมอยู่ สำหรับอะตอมที่ต้องการในการสังเคราะห์ฟิล์ม DLC คืออะตอมคาร์บอน ดังนั้นจึงนิยมใช้สารประกอบไฮโดรคาร์บอนผสมกับแก๊สไฮโดรเจนป้อนเข้าสู่ภาชนะสุญญากาศ แล้วกระตุ้นแก๊สด้วยความร้อนหรือกระแสไฟฟ้า เพื่อให้แก๊สตั้งต้นแตกตัวเป็นอะตอม อิเล็กตรอน ไอออนหรืออนุมูล (Radical) ที่เกิดปฏิกิริยาได้ง่ายกว่าโมเลกุลเคลื่อนที่และเกิดปฏิกิริยาบริเวณผิวหน้าแผ่นรองรับ (Substrate) แล้วเกิดการตกสะสมลงบนผิวหน้าแผ่นรองรับ [17] โดยสามารถจำแนกการสังเคราะห์ฟิล์มแบบ CVD ตามวิธีการที่ใช้กระตุ้นแก๊ส อาทิเช่น แบบไร้ความร้อน (Hot Filament; HF) หรือ เสริมด้วยพลาสมา (Plasma Enhanced; PECVD) จากแหล่งกำเนิดพลังงานชนิดต่างๆ ทั้ง กระแสตรง (DC) คลื่นวิทยุ (RF) หรือคลื่นไมโครเวฟ รูปที่ 2.7 แสดงเทคนิค CVD แบบต่างๆที่ใช้ในการสังเคราะห์ฟิล์ม DLC รูปที่ 2.7(a) แสดงการใช้กำลังไฟฟ้าที่ความถี่คลื่นวิทยุแบบ CCP ในการกระตุ้นแก๊สตั้งต้น รูปที่ 2.7(b) แสดงการใช้กำลังไฟฟ้าที่ความถี่คลื่นวิทยุแบบ ICP ที่ขดลวดพันรอบภาชนะสุญญากาศ ในการกระตุ้นแก๊สตั้งต้น รูปที่ 2.7(c) แสดงการใช้กระแสตรงในการกระตุ้นแก๊สตั้งต้น และรูปที่ 2.7(d) แสดงการใช้ความร้อนจากไร้ความร้อนในการกระตุ้นแก๊สตั้งต้น



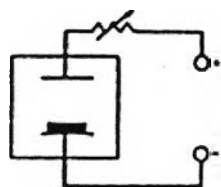
รูปที่ 2.6 กระบวนการเกิดฟิล์มในแบบ CVD [17]



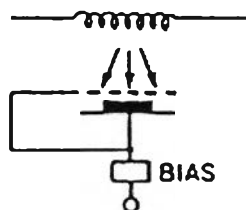
(a) RF parallel plate



(b) RF inductive discharge



(c) DC glow discharge



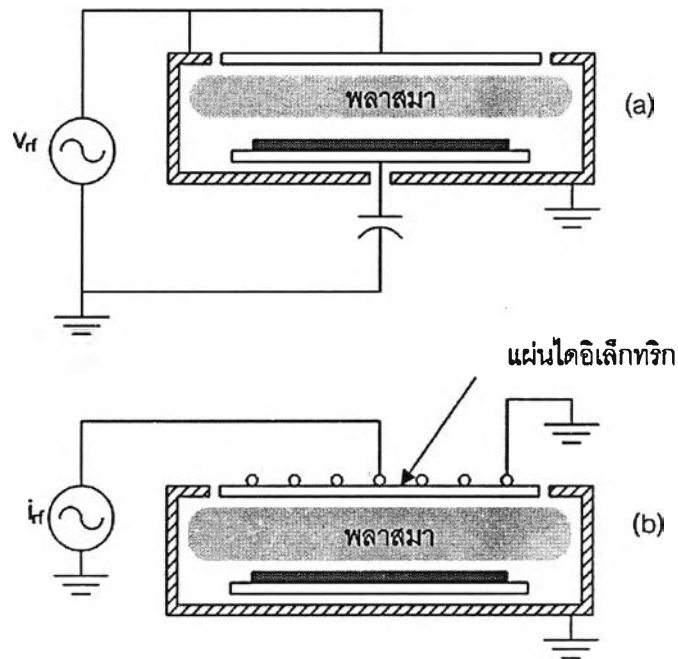
(e) Hot filament

รูปที่ 2.7 เทคนิคต่างๆที่ใช้ในการสังเคราะห์ฟิล์ม DLC [4, 6]

การเตรียมฟิล์ม DLC ด้วยเทคนิค CVD ในระยะเริ่มต้นนิยมใช้สารประกอบไฮโดรคาร์บอนที่มีค่าพลังงานการแตกตัวต่ำ [4] เช่น เบนซิน เป็นสารตั้งต้น แต่ฟิล์มที่ได้มีไอปนเปื้อนมากทำให้ใช้ได้เฉพาะในงานเชิงกลที่ไม่ต้องการความบริสุทธิ์ของฟิล์มมากนักเท่านั้น ไม่เหมาะต่อการนำไปใช้เชิงอิเล็กทรอนิกส์เนื่องจากมีผลอย่างมากต่อการนำไฟฟ้า ต่อมามีการใช้แก๊สชนิดอื่นที่มีอัตราส่วนระหว่าง H/C ต่ำลง เช่น อะเซทิลีน แต่ท้ายสุดนิยมใช้แก๊สมีเทนเนื่องจากแก๊สมีเทนความบริสุทธิ์สูง ซึ่งสามารถจัดปัญหาการที่มีไนโตรเจนปนเปื้อนในแก๊ส ซึ่งไนโตรเจนจะเข้าไปแทรกในเนื้อฟิล์ม เกิดการตีปฟิล์มทำให้สมบัติการนำไฟฟ้าเปลี่ยนแปลงอย่างมาก [18]

2.2.3 เทคนิคการตกสะสมไอเชิงเคมีเสริมด้วยพลาสมาที่ความถี่คลื่นวิทยุ

เทคนิคการตกสะสมไอเชิงเคมีเสริมด้วยพลาสมาที่ความถี่คลื่นวิทยุ (Radio Frequency Plasma Enhanced Chemical Vapor Deposition; RF-PECVD) หรือเทคนิคอาร์เอฟ-พีดซีวีดี (RF-PECVD) เป็นเทคนิคหนึ่งที่นิยมใช้ในการสังเคราะห์ฟิล์ม DLC โดยใช้กำลังไฟฟ้าที่ความถี่คลื่นวิทยุในการกำเนิดพลาสมาภายใต้ความดันต่ำ รูปที่ 2.8 แสดงเทคนิค RF-PECVD ซึ่งสามารถแบ่งออกได้เป็น 2 แบบตามลักษณะของขั้วไฟฟ้า คือ 1. แบบแผ่นเก็บประจุ (Capacitively Coupled Plasma; CCP) และ 2. แบบเหนี่ยวนำ (Inductively Coupled Plasma; ICP) สำหรับระบบกำเนิดพลาสมาแบบ CCP นั้นกำลังไฟฟ้าที่ความถี่คลื่นวิทยุจะถูกจ่ายให้แก่โมเลกุลแก๊สผ่านขั้วไฟฟ้าที่เป็นแผ่นขนาน ซึ่งส่วนใหญ่แผ่นรองรับจะถูกวางบนขั้วไฟฟ้าที่ต่อกับแหล่งจ่ายกำลังไฟฟ้าที่ความถี่คลื่นวิทยุ เมื่อมีกระแสเข้าสู่ขั้วไฟฟ้าจะเหนี่ยวนำให้เกิดสนามไฟฟ้าระหว่างขั้วไฟฟ้าแล้วถ่ายทอดพลังงานแก่โมเลกุลแก๊สที่อยู่ระหว่างขั้วไฟฟ้าทำให้โมเลกุลแก๊สแตกตัวและเปลี่ยนสถานะเป็นพลาสมา เนื่องจากอิเล็กตรอนซึ่งมวลน้อยกว่าไอออนมากจะเคลื่อนที่ไปที่ผนังภาชนะสุญญากาศได้เร็ว คงเหลือเฉพาะไอออนเกิดเป็นชีท (Sheath) หรือบริเวณที่มีศักย์บวกหน้าขั้วไฟฟ้าทั้ง 2 ด้าน ระบบกำเนิดพลาสมาแบบ CCP มีข้อดีในการสังเคราะห์ฟิล์ม คือ สามารถสังเคราะห์ฟิล์มได้บริเวณกว้างและขยายขนาดของระบบได้ง่าย แต่จะต้องสังเคราะห์ที่ความดันต่ำมาก เพื่อเพิ่มอัตราส่วนของไอออนในพลาสมา และลดการชนในบริเวณชีท ซึ่งค่อนข้างยุ่งยากในระบบกำเนิดพลาสมาแบบ CCP [7] สำหรับรายละเอียดของระบบกำเนิดพลาสมาแบบ ICP จะกล่าวถึงในหัวข้อถัดไป



รูปที่ 2.8 เทคนิคการตกตะกอนไอเชิงเคมีเสริมด้วยพลาสมาที่ความถี่คลื่นวิทยุ

(a) แบบ CCP และ (b) แบบ ICP

2.3 ระบบกำเนิดพลาสมาแบบเหนี่ยวนำด้วยกำลังไฟฟ้าที่ความถี่คลื่นวิทยุ

ระบบกำเนิดพลาสมาแบบเหนี่ยวนำด้วยกำลังไฟฟ้าที่ความถี่คลื่นวิทยุ (Radio Frequency Inductively Coupled Plasma; RF ICP) เป็นระบบกำเนิดพลาสมาที่มีความหนาแน่นสูงถึงประมาณ 10^{10} - 10^{12} cm^{-3} [8] ในงานวิจัยนี้จะใช้ความถี่มาตรฐาน 13.56 MHz ซึ่งเป็นความถี่ที่องค์การสื่อสารระหว่างประเทศ (International communication authorities) อนุญาตให้ใช้ในทางวิทยาศาสตร์ เพื่อไม่รบกวนต่อความถี่ที่ใช้ในการสื่อสาร

2.3.1 องค์ประกอบของระบบกำเนิดพลาสมาแบบ ICP

ในระบบกำเนิดพลาสมาแบบ ICP โดยทั่วไปประกอบด้วย ส่วนประกอบหลัก 3 ส่วนคือ

1. ส่วนของระบบสุญญากาศ ประกอบด้วยปั๊มสุญญากาศ (Vacuum pump) และภาชนะสุญญากาศ (Vacuum chamber) ในกรณีที่เป็นชนิดลวดตัวนำพันรอบภาชนะ

สูญญากาศ ภาชนะสูญญากาศจะทำจากสารไดอิเล็กทริก อาทิเช่น ควอทซ์ (SiO_2) หรือเซรามิกส์ อะลูมินา (Al_2O_3) ส่วนกรณีที่ใช้ขดลวดแบบระนาบภาชนะสูญญากาศจะทำจากโลหะ ซึ่งสามารถกั้นการกระจายของคลื่นความถี่สูงออกภายนอกระบบได้ และสามารถปรับแต่งรูปแบบและต่อพอร์ทต่างๆ ได้ง่ายกว่าภาชนะสูญญากาศที่ทำจากสารไดอิเล็กทริก

2. ส่วนจ่ายพลังงาน ประกอบด้วย เครื่องกำเนิดคลื่นความถี่วิทยุ (RF generator) วงจรปรับค่าความขัด (Matching network) และขดลวดตัวนำ (Induction coil) โดยมีแผ่นไดอิเล็กทริกกั้นระหว่างพลาสมากับขดลวด เครื่องกำเนิดคลื่นความถี่วิทยุจะจ่ายพลังงานผ่านวงจรปรับค่าความขัด (Matching network) ไปยังขดลวดระนาบ วงจรปรับค่าความขัดทำหน้าที่เพิ่มประสิทธิภาพในการส่งผ่านพลังงานไปยังพลาสมาให้มีประสิทธิภาพมากที่สุด โดยจะปรับให้เกิดค่าตอนที่ความถี่คลื่นวิทยุที่ใช้ (13.56 MHz) ที่ค่าความขัด 50Ω

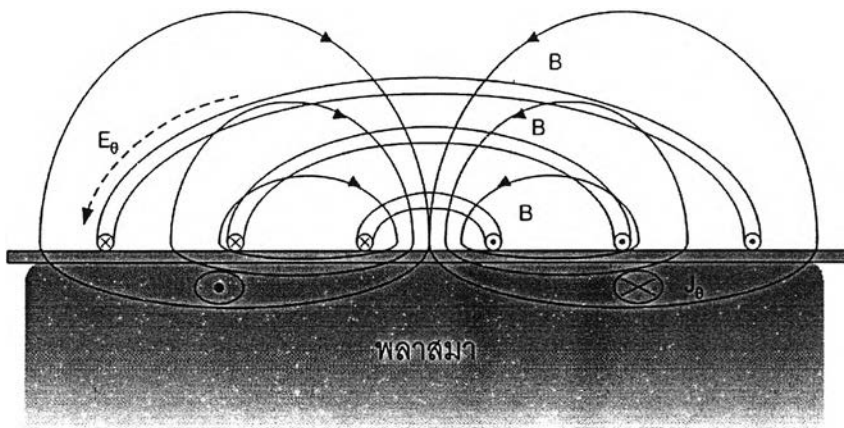
3. ส่วนจ่ายแก๊สหรือสารตั้งต้น ประกอบด้วยแก๊สที่บรรจุอะตอมที่ต้องการในการสังเคราะห์ ป้อนผ่านเครื่องควบคุมการไหลเข้าสู่ภาชนะสูญญากาศ

2.3.2 การส่งผ่านพลังงานในระบบกำเนิดพลาสมาแบบเหนี่ยวนำ

ขดลวดระนาบวางอยู่เหนือแผ่นไดอิเล็กทริก เมื่อมีกระแสที่ความถี่คลื่นวิทยุไหลเข้าสู่ขดลวดระนาบ จากกฎของฟาราเดย์ (Faraday law);

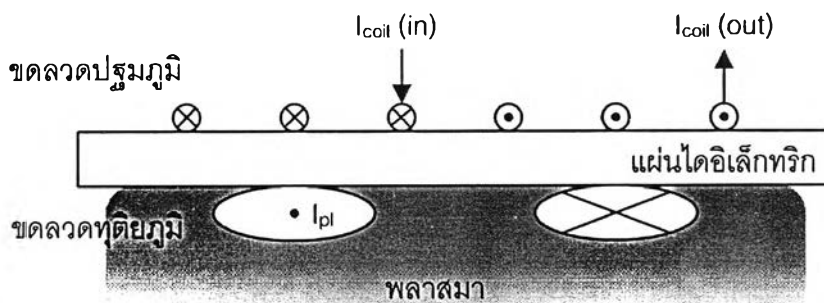
$$\nabla \times E = -\mu_0 \frac{\partial H}{\partial t} \quad (2.1)$$

ในรูปที่ 2.9 แสดงลักษณะของสนามแม่เหล็กและสนามไฟฟ้าแปรผันตามเวลา $E(r,t)$ และ $H(r,t)$ ที่ถูกเหนี่ยวนำขึ้น ($B = \mu_0 H$) ในกรณีของขดลวดระนาบที่สมมาตร สนามไฟฟ้าจะมีองค์ประกอบในทิศ E_θ และสนามแม่เหล็กจะมีองค์ประกอบในทิศ H_r และ H_z รอบขดลวดระนาบ [19, 20] และเมื่อเกิดพลาสมาขึ้นภายใต้ขดลวด สนามแม่เหล็กในขดลวดระนาบจะเหนี่ยวนำให้เกิดสนามไฟฟ้า E_θ และเกิดกระแส J_θ ขึ้นในพลาสมาในทิศตรงข้ามกับกระแสในขดลวด มีพฤติกรรมเหมือนหม้อแปลงแกนอากาศ (Air core transformer)

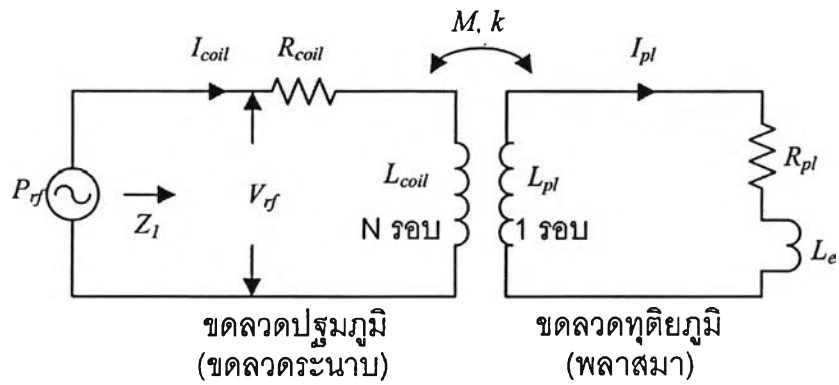


รูปที่ 2.9 สนามแม่เหล็กและสนามไฟฟ้าที่เกิดขึ้นรอบขดลวดระนาบที่วางในบริเวณที่เกิดพลาสมาด้านบนของแผ่นไดอิเล็กทริก

รูปที่ 2.10 แสดงกระแสที่ความถี่คลื่นวิทยุไหลในขดลวดระนาบจะเหนี่ยวนำให้เกิดกระแสขึ้นในพลาสมาในทิศตรงกันข้ามกับกระแสในขดลวด พฤติกรรมของกระแสในขดลวดและกระแสที่เกิดขึ้นในพลาสมานี้อธิบายได้ด้วยแบบจำลองหม้อแปลงแกนอากาศ (Air Core Transformer model) [19, 20] รูปที่ 2.11 แสดงวงจรของแบบจำลองหม้อแปลงแกนอากาศ โดยขดลวดระนาบเป็นเสมือนขดลวดปฐมภูมิจำนวน N รอบและพลาสมาเป็นเสมือนขดลวดทุติยภูมิจำนวน 1 รอบ



รูปที่ 2.10 หม้อแปลงแกนอากาศในระบบกำเนิดพลาสมาแบบ ICP



รูปที่ 2.11 วงจรของแบบจำลองหม้อแปลงแกนอากาศในระบบกำเนิดพลาสมาแบบ ICP

เมื่อค่าความขัดรวมของวงจรปฐมภูมิ (Z_1) เป็นผลรวมของค่าความต้านทานและค่าความเหนี่ยวนำของขดลวด R_{coil} และ L_{coil} ตามลำดับ

$$Z_1 = R_{coil} + j\omega L_{coil} \quad (2.2)$$

ค่าความขัดของขดลวดทุติยภูมิ (Z_2) เป็นผลรวมของค่าความต้านทานของพลาสมา (R_{pl}) และความเหนี่ยวนำในพลาสมา ($L_{pl} + L_e$)

$$Z_2 = R_{pl} + j\omega(L_{pl} + L_e) \quad (2.3)$$

จากกฎของเคอร์ซอพ

$$V_{rf} = Z_1 I_{coil} - j\omega M I_{pl} \quad (2.4)$$

$$0 = Z_2 I_{pl} - j\omega M I_{coil} \quad (2.5)$$

โดยที่ค่าความเหนี่ยวนำร่วม $M^2 = k^2 L_{coil} L_{pl}$

$$I_{pl} = \frac{j\omega M I_{coil}}{Z_2} \quad (2.6)$$

$$V_{rf} = Z_1 I_{coil} + \frac{\omega^2 M^2 I_{coil}}{Z_2} \quad (2.7)$$

$$\frac{V_{rf}}{I_{coil}} = Z_1 + \frac{\omega^2 M^2}{Z_2} \quad (2.8)$$

$$Z_{in} = \frac{V_{rf}}{I_{coil}} = Z_1 + \frac{\omega^2 M^2}{Z_2} \quad (2.9)$$

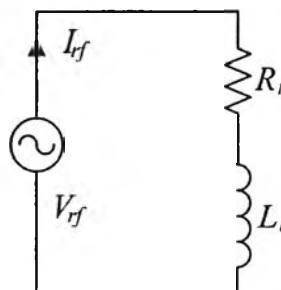
เมื่อแทนค่า Z_1 และ Z_2 จากสมการที่ 2.2 และ 2.3 ลงในสมการที่ 2.9 และจัดรูปใหม่จะได้เป็นสมการที่ 2.10 [21]

$$Z_{in} = \left(R_{coil} + \frac{\omega^2 M R_{pl}}{|Z_2|^2} \right) + j\omega \left(L_{coil} - \frac{\omega^2 M^2 (L_{pl} + L_e)}{|Z_2|^2} \right) \quad (2.10)$$

หากพิจารณาให้ Z_{in} มีค่าที่เทียบเท่ากับค่าที่เกิดจากวงจรสมมูล ดังรูปที่ 2.12 หรือเขียนได้เป็น $Z_{in} = R_1 + j\omega L_1$ ดังนั้น จะได้ค่าความต้านทาน R_1 และค่าความเหนี่ยวนำ L_1 ที่เปลี่ยนแปลงไปเมื่อเกิดพลาสมาขึ้นในระบบดังสมการที่ 2.11 และสมการที่ 2.12 ตามลำดับ

$$R_1 = \left(R_{coil} + \frac{\omega^2 M R_{pl}}{|Z_2|^2} \right) \quad (2.11)$$

$$L_1 = \left(L_{coil} - \frac{\omega^2 M^2 (L_{pl} + L_e)}{|Z_2|^2} \right) \quad (2.12)$$



รูปที่ 2.12 วงจรสมมูลแบบจำลองหม้อแปลงแกนอากาศ
ในระบบกำเนิดพลาสมาแบบ ICP [21]

2.4 การสังเคราะห์ฟิล์ม DLC ด้วยเทคนิค RF-PECVD

ในปัจจุบันมีการสังเคราะห์ฟิล์ม DLC ด้วยเทคนิคต่างดังที่ได้กล่าวมาแล้วในหัวข้อที่ 2.2.2 สำหรับเทคนิค RF-PECVD นั้นเป็นอีกเทคนิคหนึ่งที่นิยมใช้ในการสังเคราะห์ฟิล์ม DLC ในหัวข้อนี้ ขอยกตัวอย่างงานวิจัยที่ใช้เทคนิค RF-PECVD ในการสังเคราะห์ฟิล์ม DLC พอสังเขปดังนี้

S. Kumar และ P. N. Dixit [22] ได้ทำการสังเคราะห์ฟิล์ม DLC ด้วยเทคนิค RF-PECVD ด้วยกำลังไฟฟ้าที่ความถี่ 2 ค่า คือ 13.56 MHz และ 100 MHz เพื่อศึกษาถึงปัจจัยที่มีผลต่ออัตราการเกิดฟิล์ม DLC และสมบัติของฟิล์มที่เปลี่ยนไป จากรายงานผลการวิจัยพบว่าเมื่อเพิ่มกำลังไฟฟ้าที่ความถี่ 13.56 MHz จาก 100 W/cm^2 ถึง 420 W/cm^2 อัตราการเกิดฟิล์ม DLC เพิ่มขึ้นจาก 3.6 \AA/s เป็น 6.7 \AA/s เนื่องจากการเพิ่มกำลังไฟฟ้าจะเป็นการเพิ่มอัตราการแตกตัวของแก๊สตั้งต้นและเพิ่มความหนาแน่นของพลาสมาในระบบ

S. C. Won และคณะ [23] ได้ทำการสังเคราะห์ฟิล์ม DLC ในระบบกำเนิดพลาสมาแบบ ICP ลงบนแผ่นรองรับซิลิกอน p-type (100) ขนาด $2 \times 2 \text{ cm}^2$ ด้วยกำลังไฟฟ้าที่ความถี่คลื่นวิทยุระหว่าง 25 - 200 W และความดัน 1.0 torr เพื่อศึกษาถึงผลของกำลังไฟฟ้าที่ความถี่คลื่นวิทยุต่อสมบัติของฟิล์ม DLC โดยได้ตรวจสอบลักษณะโครงสร้างของฟิล์มด้วยรามานสเปกโทรสโกปีและศึกษาลักษณะพื้นผิวฟิล์มด้วย Atomic Force Microscopy (AFM) จากรายงานการวิจัยที่ศึกษาลักษณะพื้นผิวฟิล์มด้วย AFM พบว่าพื้นผิวฟิล์มมีความขรุขระเปลี่ยนแปลงไปตามกำลังไฟฟ้าที่ความถี่คลื่นวิทยุ และสเปกตรัมรามานปรากฏพีก D ที่ตำแหน่งเลขคลื่น 1368 cm^{-1} และปรากฏพีก G ที่ตำแหน่งเลขคลื่นระหว่าง $1534 - 1573 \text{ cm}^{-1}$ ซึ่งความสำคัญและเหตุผลของการเกิดพีก D และ G จะได้กล่าวถึงในหัวข้อ 2.7.2 ต่อไป

Y.T. Kim [24] ได้สังเคราะห์ฟิล์ม DLC ลงบนแผ่นรองรับซิลิกอน p-type (100) ด้วยเทคนิค RF-PECVD ด้วยกำลังไฟฟ้าที่ความถี่คลื่นวิทยุระหว่าง 200 - 400 W ความดันที่ใช้มีค่าระหว่าง 0.4 - 6.0 torr (53.3 - 800 Pa) และอัตราส่วนของแก๊สไฮโดรเจนต่อแก๊สมีเทนคงที่ โดยตรวจสอบลักษณะโครงสร้างของฟิล์มด้วยรามานสเปกโทรสโกปีและศึกษาลักษณะพื้นผิวฟิล์มด้วย Atomic Force Microscopy (AFM) จากรายงานการวิจัยพบว่าความดันและกำลังไฟฟ้าที่ความถี่คลื่นวิทยุมีผลต่อโครงสร้างและสมบัติของฟิล์ม DLC ลักษณะพื้นผิวฟิล์มที่ศึกษาด้วย AFM มีความขรุขระเปลี่ยนแปลงไปเมื่อแปรค่าความดัน สเปกตรัมรามานปรากฏพีก D ที่ตำแหน่งเลขคลื่นประมาณ 1350 cm^{-1} และปรากฏพีก G ที่ตำแหน่งเลขคลื่นระหว่าง $1575 - 1600 \text{ cm}^{-1}$ ตามความดันและกำลังไฟฟ้าที่ความถี่คลื่นวิทยุที่เปลี่ยนไป

W.S.Liew และคณะ [25] ได้สังเคราะห์ฟิล์ม DLC ด้วยเทคนิค RF-PECVD ด้วยระบบกำเนิดพลาสมาแบบ ICP ที่กำลังไฟฟ้าที่ความถี่ 13.56 MHz 500 W ลงบนแผ่นรองรับซิลิกอนขนาด $2 \times 1.5 \text{ cm}^2$ ก่อนการสังเคราะห์มีการขัดผิวหน้าแผ่นรองรับด้วยผงเพชรขนาด $0.1 \text{ }\mu\text{m}$ อัตราส่วนของแก๊สมีเทนต่อแก๊สไฮโดรเจนที่ใช้สังเคราะห์เท่ากับ 0.8% 1.0% 3.0% และ 5.0% สังเคราะห์เป็นเวลานาน 15 ชั่วโมง หลังจากนั้นตรวจสอบลักษณะโครงสร้างของฟิล์มด้วยรามานสเปกโทรสโกปีและศึกษาลักษณะพื้นผิวฟิล์มด้วย SEM จากรายงานผลการวิจัยพบว่าอัตราส่วนของแก๊สมีเทนต่อแก๊สไฮโดรเจนมีผลต่อโครงสร้างและสมบัติของฟิล์ม DLC จากลักษณะพื้นผิวฟิล์มที่ศึกษาด้วย SEM พบว่าพื้นผิวฟิล์มมีลักษณะเป็นดอกกะหล่ำ (Cauliflower) และพหุผลึก (Polycrystalline) สำหรับสเปกตรัมรามานปรากฏพีค D ที่ตำแหน่งเลขคลื่น $1350 - 1360 \text{ cm}^{-1}$ และปรากฏพีค G ที่ตำแหน่งเลขคลื่น $1580 - 1590 \text{ cm}^{-1}$ ตามอัตราส่วนของแก๊สมีเทนต่อแก๊สไฮโดรเจนที่เปลี่ยนแปลงไป

T. Shimizu และคณะ [26] ได้สังเคราะห์ฟิล์ม DLC ลงบนแผ่นรองรับ Ni ด้วยเทคนิค RF-PECVD ที่มีวงแหวนแม่เหล็กและมีตะแกรงกั้นระหว่างบริเวณที่กำเนิดพลาสมา กับบริเวณที่เกิดฟิล์มเพื่อควบคุมพลาสมาในระบบ เมื่อแปรค่าระยะห่างระหว่างตะแกรงกับบริเวณที่เกิดพลาสมาแล้วจะสามารถควบคุมอุณหภูมิอิเล็กตรอนในบริเวณที่เกิดฟิล์มได้ การสังเคราะห์ฟิล์มใช้อัตราส่วนของแก๊สมีเทนต่อแก๊สไฮโดรเจนคงที่ด้วยความดัน 0.1 torr กำลังไฟฟ้าที่ความถี่คลื่นวิทยุ 300 W และวัดอุณหภูมิอิเล็กตรอนด้วยหัววัดกลางมัวร์ อุณหภูมิอิเล็กตรอนถูกแปรค่าระหว่าง 0.52 - 2.46 eV โดยตรวจสอบลักษณะโครงสร้างของฟิล์มด้วยรามานสเปกโทรสโกปีและศึกษาลักษณะพื้นผิวฟิล์มด้วย SEM จากรายงานการวิจัยพบว่าอุณหภูมิอิเล็กตรอนมีผลต่อโครงสร้างและสมบัติของฟิล์ม DLC ลักษณะพื้นผิวฟิล์มที่ศึกษาด้วย SEM มีลักษณะเป็นผลึก (Crystalline) กระจายบนผิวหน้าและบางส่วนมีลักษณะเป็นพื้นผิวเรียบ สำหรับสเปกตรัมรามานปรากฏพีค D ที่ตำแหน่งเลขคลื่น 1332 cm^{-1} และปรากฏพีค G ที่ตำแหน่งเลขคลื่นประมาณ 1590 cm^{-1} ตามอุณหภูมิอิเล็กตรอนที่เปลี่ยนแปลงไป

สำหรับผลการวิจัยดังกล่าวข้างต้น จะกล่าวถึงในรายละเอียดอีกครั้งในหัวข้อที่ 2.6.1 และ 2.7.3 และจะนำไปเปรียบเทียบกับผลงานวิจัยนี้โดยละเอียดอีกครั้งในบทที่ 4

2.5 สมบัติของพลาสมา

2.5.1 การวัดพารามิเตอร์ของพลาสมาด้วยหัววัดทางไฟฟ้า

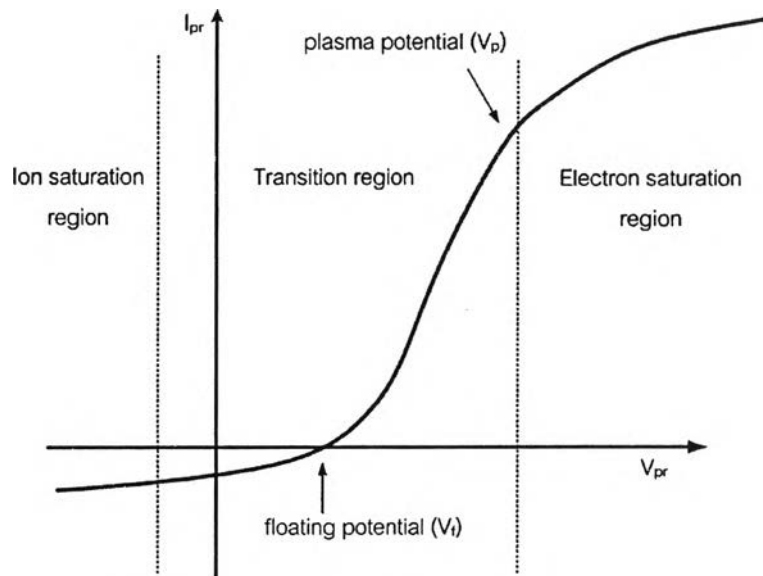
วิธีที่ใช้วัดพารามิเตอร์ของพลาสมามีด้วยกันหลายวิธี เช่น การใช้เครื่องวิเคราะห์โดยมวล (Mass spectroscopy) และ Optical Emission Spectroscopy (OES) [21] เป็นต้น หัววัดทางไฟฟ้าหรือหัววัดลางมัวร์ (Langmuir probe) เป็นอีกวิธีหนึ่งที่นิยมใช้วัดพารามิเตอร์ของพลาสมา ซึ่งเป็นวิธีที่ง่ายและราคาถูกกว่าเมื่อเทียบกับเทคนิคอื่นที่กล่าวมาข้างต้น นอกจากนี้ค่าพารามิเตอร์ที่ได้จากเทคนิคหัววัดลางมัวร์ยังเป็นค่าพารามิเตอร์ ณ ตำแหน่งที่วัดโดยตรง (Local parameters) [27]

การวัดพารามิเตอร์ของพลาสมาด้วยหัววัดลางมัวร์ ทำได้โดยการสอดเส้นลวดตัวนำขนาดเล็กเข้าไปในพลาสมา แล้ววัดค่ากระแสที่ไหลเข้าสู่หัววัดเมื่อแปรค่าความต่างศักย์ที่จ่ายให้แก่หัววัด ในรูปที่ 2.13 แสดงกราฟความสัมพันธ์ระหว่างกระแสที่เปลี่ยนแปลงตามความต่างศักย์ที่ป้อนให้แก่หัววัด ลักษณะเฉพาะของกระแสกับความต่างศักย์ (I-V characteristics) ของหัววัดลางมัวร์นี้มักถูกแบ่งพิจารณาออกเป็น 3 บริเวณตามชนิดของกระแสที่ไหลเข้าสู่หัววัด [21, 27, 28] ดังต่อไปนี้

บริเวณที่ 1. เป็นบริเวณไอออนอิ่มตัว (Ion saturation region): ความต่างศักย์ที่ป้อนให้แก่หัววัด (V_{pr}) มีค่าเป็นลบเมื่อเทียบกับศักย์พลาสมา (Plasma potential; V_p) ที่ล้อมรอบหัววัด กำแพงศักย์ต่ออิเล็กตรอน (Electron potential barrier) สูงมากในบริเวณนี้ ทำให้อิเล็กตรอนไม่สามารถผ่านเข้าสู่หัววัดได้ ตรงกันข้ามกับไอออนที่ไหลเข้าสู่หัววัดจำนวนมาก จึงเกิดชีทไอออน (Ion sheath) ล้อมรอบหัววัด

บริเวณที่ 2. เป็นบริเวณการเปลี่ยนแปลง (Transition region): เมื่อค่าความต่างศักย์ที่ป้อนให้แก่หัววัดเป็นบวกเพิ่มมากขึ้นเมื่อเทียบกับศักย์พลาสมา กำแพงศักย์ต่ออิเล็กตรอนลดลงทำให้มีอิเล็กตรอนไหลเข้าสู่หัววัดเพิ่มมากขึ้น ตรงกันข้ามกับไอออนที่ไหลเข้าสู่หัววัดลดลงจนกระทั่งเมื่อถึงความต่างศักย์ค่าหนึ่ง กระแสไอออนเท่ากับกระแสอิเล็กตรอน ทำให้กระแสรวมที่ไหลเข้าสู่หัววัดเท่ากับศูนย์ ศักย์ที่ตำแหน่งนี้เรียกว่า "ศักย์ลอย" (Floating potential; V_f) อิเล็กตรอนไหลเข้าสู่หัววัดเพิ่มมากขึ้นเรื่อยๆ จนกระทั่ง ค่าความต่างศักย์ที่จ่ายให้แก่หัววัดเท่ากับศักย์พลาสมา ทำให้ทั้งอิเล็กตรอนและไอออนที่ตำแหน่งนี้ ต่างเคลื่อนที่ด้วยความเร็วเนื่องจากอุณหภูมิของตัวเอง (Thermal velocity) แต่เนื่องจากอิเล็กตรอนมวลน้อยกว่าไอออนมาก ทำให้เคลื่อนที่เข้าสู่หัววัดได้มากกว่าไอออน

บริเวณที่ 3. เป็นบริเวณอิเล็กตรอนอิ่มตัว (Electron saturation region): เมื่อเพิ่ม ความต่างศักย์ให้แก่หัววัดจนกระทั่งมากกว่าศักย์พลาสมา ไอออนที่พลังงานน้อยจะถูกผลัก ออกไป อิเล็กตรอนจำนวนมากไหลเข้าสู่หัววัด เกิดชีทอิเล็กตรอน (Electron sheath) ล้อมรอบ หัววัดและอิมิต์วในที่สุด



รูปที่ 2.13 ลักษณะเฉพาะของกระแสกับความต่างศักย์ [28]

2.5.2 อุณหภูมิอิเล็กตรอน (Electron temperature; T_e)

ในการวิเคราะห์ข้อมูลจากลักษณะเฉพาะของกระแสกับความต่างศักย์ จะ พิจารณาจากข้อมูลในช่วงการเปลี่ยนแปลง เมื่อซีทที่ล้อมรอบหัววัดบางมากและไม่มีการชนกัน ของอนุภาคในซีท [27] พลาสมามีการแจกแจงอิเล็กตรอนแบบแมกซ์เวล (Maxwellian distribution) กระแสอิเล็กตรอน (I_e) เป็นดังสมการที่ 2.13

$$I_e = I_{es} \exp\left(\frac{e(V_p - V_s)}{kT_e}\right) \quad (2.13)$$

โดยที่กระแสอิเล็กตรอนอิ่มตัว I_{es} เท่ากับ

$$I_{es} = en_e A_p \left(\frac{kT_e}{2\pi m_e}\right)^{1/2} \quad (2.14)$$

เมื่อ A_p เป็นพื้นที่ผิวทั้งหมดของหัววัดที่สัมผัสกับพลาสมา

T_e เป็นอุณหภูมิอิเล็กตรอนในหน่วย K

n_e เป็นความหนาแน่นของอิเล็กตรอน

m_e เป็นมวลของอิเล็กตรอน

k เป็นค่าคงที่โบลซ์มานน์

เมื่อหาอัตราการเปลี่ยนแปลงของลอการิทึมของกระแสอิเล็กตรอนในสมการที่ 2.13 จะสามารถหาอุณหภูมิอิเล็กตรอน จากสมการที่ 2.15

$$\frac{kT_e}{e} = \frac{\Delta V}{\Delta \ln I_e} \quad (2.15)$$

ซึ่งจะนำไปคำนวณหาค่าอุณหภูมิอิเล็กตรอนใน

2.5.3 ความหนาแน่นของพลาสมา (Plasma density; n_p)

จากนิยามของพลาสมาที่มีสมบัติประหนึ่งเป็นกลางทางไฟฟ้า (quasi-neutral) ดังนั้นจึงสามารถอนุมานได้ว่า ความหนาแน่นของอิเล็กตรอน (n_e) และความหนาแน่นของไอออน (n_i) เท่ากับความหนาแน่นของพลาสมา (n_p) นั่นคือ $n_e \approx n_i \approx n_p$ พิจารณากระแสไอออนอิมิตัว (I_{is}) [29] ดังสมการที่ 2.16

$$I_{is} = 0.61en_i A_p \left(\frac{kT_e}{M_i} \right)^{1/2} \quad (2.16)$$

ดังนั้นความหนาแน่นของพลาสมา [29] เท่ากับ

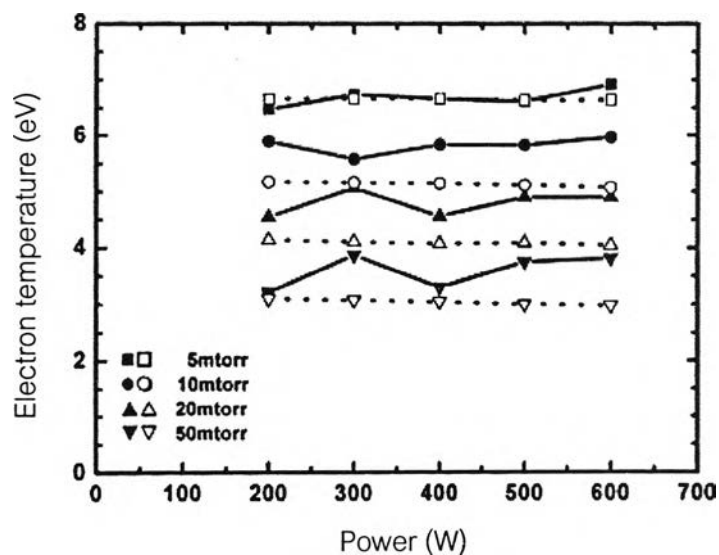
$$n_p = \frac{I_{is}}{0.61A_p e} \left(\frac{M_i}{kT_e} \right)^{1/2} \quad (2.17)$$

สมการที่ 2.15 และสมการที่ 2.17 นี้จะถูกนำไปใช้ในการคำนวณเพื่อหาค่าอุณหภูมิอิเล็กตรอนและความหนาแน่นของพลาสมาในระบบกำเนิดพลาสมาแบบ ICP ในหัวข้อที่ 3.2 และแสดงผลการวัดที่ได้ในหัวข้อที่ 4.1

2.5.4 พารามิเตอร์ของพลาสมาในระบบ ICP

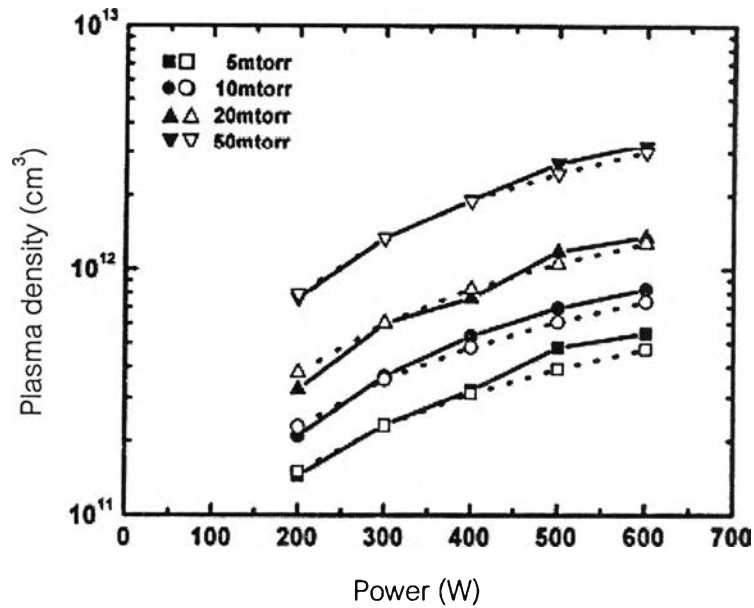
สมบัติของพลาสมาที่เกิดขึ้นในระบบ RF-PECVD นั้นมีลักษณะเปลี่ยนแปลงไปตามภาวะที่ใช้ในระบบ ในหัวข้อนี้จะเป็นการศึกษาผลงานวิจัยที่เกี่ยวข้องกับการวัดพารามิเตอร์ของพลาสมาในระบบ ICP

C. K. Kim [30] ได้ทำการวัดพารามิเตอร์ของพลาสมาในระบบ ICP ด้วยหัววัดกลางมัวร์ ที่กำลังไฟฟ้าที่ความถี่คลื่นวิทยุระหว่าง 200 - 600 W ความดัน 0.005 - 0.05 torr จากรายงานการวิจัยพบว่าอุณหภูมิของอิเล็กตรอนมีค่าอยู่ในช่วง 3 - 7 eV รูปที่ 2.14 แสดงอุณหภูมิอิเล็กตรอนซึ่งไม่ขึ้นกับกำลังไฟฟ้าอย่างชัดเจน แต่อุณหภูมิอิเล็กตรอนมีค่าลดลงเมื่อความดันแก๊สเพิ่มขึ้น ซึ่ง C. K. Kim ได้อธิบายว่าที่ความดันต่ำอัตราการชนกันระหว่างอิเล็กตรอนกับอนุภาคต่ำทำให้พลังงานเฉลี่ยของอิเล็กตรอนเพิ่มขึ้น รูปที่ 2.15 แสดงผลการวัดความหนาแน่นของพลาสมาซึ่งมีค่าอยู่ในระดับ 10^{11} - 10^{13} cm^{-3} ความหนาแน่นของพลาสมามีค่าเพิ่มขึ้นเมื่อกำลังไฟฟ้าที่ความถี่คลื่นวิทยุและความดันเพิ่มขึ้น เขาได้อธิบายว่าเป็นผลจากที่ความดันสูงอัตราการแตกตัวจากการชนของอิเล็กตรอนเพิ่มขึ้นและการสูญเสียไอออนกับผนังภาชนะสูญญากาศลดลง



รูปที่ 2.14 อุณหภูมิอิเล็กตรอนเพิ่มขึ้นเมื่อความดันแก๊สลดลง

จากการทดลองของ C. K. Kim [30]



รูปที่ 2.15 ความหนาแน่นของพลาสมาเพิ่มขึ้นเมื่อความดันแก๊สและกำลังไฟฟ้า
ที่ความถี่คลื่นวิทยุเพิ่มขึ้น จากการทดลองของ C. K. Kim [30]

C. W. Chung และคณะ [31] ได้วัดพารามิเตอร์ของพลาสมา ด้วยหัววัดลงมัวร์ ในระบบ ICP ที่กำลังไฟฟ้าที่ความถี่คลื่นวิทยุ 100 - 300 W ที่ความดัน 0.001 torr จากรายงาน การวิจัยพบว่าอุณหภูมิของอิเล็กตรอนมีค่าอยู่ในช่วง 5.5 - 6.7 eV โดยอุณหภูมิลูกอิเล็กตรอนไม่ ขึ้นกับกำลังไฟฟ้าที่ความถี่คลื่นวิทยุ และความหนาแน่นพลาสมามีค่าอยู่ในระดับ 10^{10} cm⁻³ ซึ่งมี ค่าเพิ่มขึ้นอย่างชัดเจนเมื่อกำลังไฟฟ้าที่ความถี่คลื่นวิทยุเพิ่มขึ้น

2.6 กล้องจุลทรรศน์อิเล็กตรอนแบบส่องกวาด

กล้องจุลทรรศน์อิเล็กตรอนแบบส่องกวาด หรือ SEM เป็นเครื่องมือวิทยาศาสตร์ประเภท กล้องจุลทรรศน์ที่ใช้ลำอิเล็กตรอนฉายหรือส่องกวาดไปบนผิวตัวอย่างที่ต้องการตรวจสอบเพื่อให้ ได้ข้อมูลของลักษณะพื้นผิว [32]

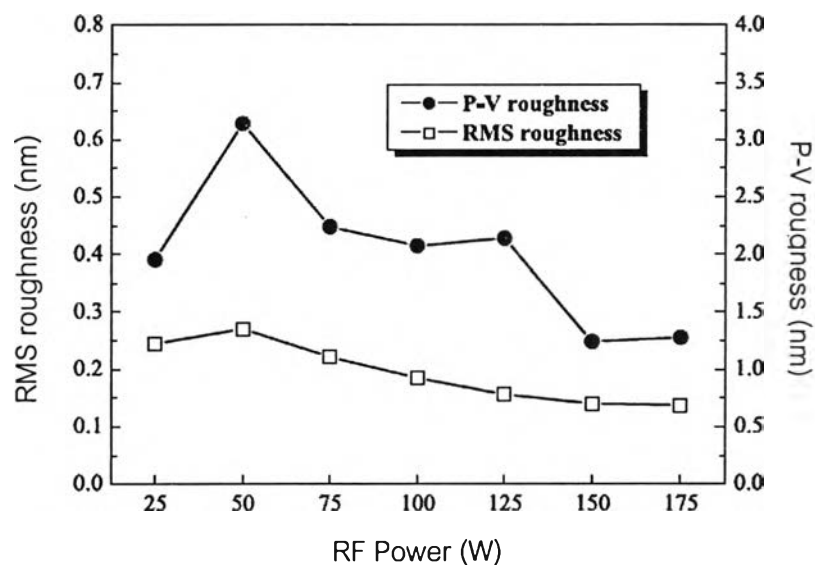
หลักการทำงานของ SEM เริ่มจากกลุ่มอิเล็กตรอนปฐมภูมิที่เกิดจากแหล่งกำเนิด อิเล็กตรอน (Electron gun) ถูกรวบรวมและบีบให้เล็กลงโดยระบบเลนส์แม่เหล็กไฟฟ้าให้เป็นลำ อิเล็กตรอนปฐมภูมิตกลงและกวาดไปบนพื้นผิวของตัวอย่างที่ต้องการตรวจสอบ เมื่อลำ อิเล็กตรอนตกกระทบผิวตัวอย่างจะเกิดอันตรกิริยาระหว่างอิเล็กตรอนกับผิวตัวอย่าง ทำให้เกิด อิเล็กตรอนทุติยภูมิ ซึ่งอิเล็กตรอนบางส่วนกระเจิงออกมาจากผิวตัวอย่างจะถูกรวบรวมเป็น สัญญาณโดยชุดรวมสัญญาณ (Collector) สัญญาณนี้จะถูกเปลี่ยนไปเป็นโฟตอนและส่งผ่านไป

ยังเครื่องขยายแสง (Photo multiplier) ซึ่งจะเปลี่ยนโฟตอนเป็นอิเล็กตรอนและถูกขยายให้เป็นสัญญาณไฟฟ้า ปรากฏเป็นสัญญาณภาพบนจอรับภาพแสดงลักษณะพื้นผิวของตัวอย่างในที่สุด

2.6.1 การวิเคราะห์ลักษณะพื้นผิวของฟิล์ม DLC

ในหัวข้อนี้เป็นการศึกษาลักษณะพื้นผิวของฟิล์ม DLC จากตัวอย่างงานวิจัยที่สังเคราะห์ฟิล์ม DLC ด้วยเทคนิค RF-PECVD ดังที่กล่าวไว้แล้วในหัวข้อ 2.4

จากการศึกษาผลงานวิจัยของ S. C. Won และคณะ [23] ที่ได้ทำการสังเคราะห์ฟิล์ม DLC ด้วยกำลังไฟที่ความถี่คลื่นวิทยุระหว่าง 25 - 200 W รูปที่ 2.16 แสดงผลการตรวจสอบลักษณะพื้นผิวฟิล์มด้วย AFM ซึ่งพบว่าที่กำลังไฟที่ความถี่คลื่นวิทยุ 25 - 50 W พื้นผิวฟิล์มมีความขรุขระ แต่เมื่อกำลังไฟที่ความถี่คลื่นวิทยุเพิ่มขึ้นผิวฟิล์มจะเรียบขึ้น ค่าความขรุขระลดลงจาก 0.28 nm เป็น 0.15 nm



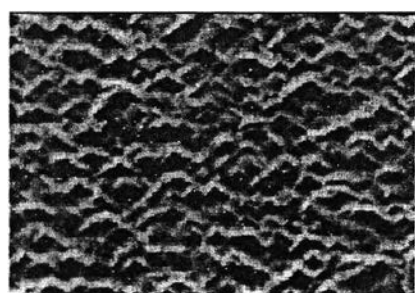
รูปที่ 2.16 ความขรุขระของพื้นผิวฟิล์ม DLC ที่วัดด้วย AFM

จากการทดลองของ S. C. Won และคณะ [23]

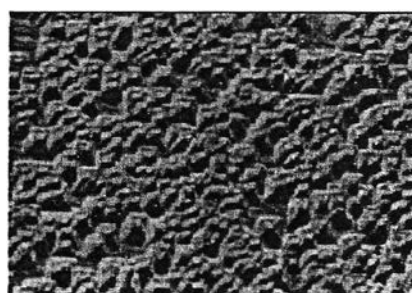
จากการศึกษาผลงานวิจัยของ Y.T. Kim [24] สังเคราะห์ฟิล์ม DLC ด้วยกำลังไฟที่ความถี่คลื่นวิทยุระหว่าง 200 - 400 W ที่ความดัน 0.4 - 6.0 torr (53.3 - 800 Pa) ลักษณะพื้นผิวฟิล์มที่ศึกษาด้วย AFM มีค่าความขรุขระที่วัดได้จาก AFM ลดลง จาก 10 \AA เป็น 1.2 \AA แต่เมื่อเพิ่มความดันต่อไปจนถึง 6.0 torr (800 Pa) พื้นผิวของฟิล์มมีค่าความขรุขระเพิ่มมากขึ้น Y.T. Kim ได้อธิบายว่าเนื่องจากที่ความดันต่ำ ไม่มีการชนกันของอนุภาคต่างๆ พลังงาน

ของไอออนจึงขึ้นกับกำลังไฟฟ้าและมีพลังงานสูงกว่าไอออนที่ความดันสูง กลไกที่ควบคุมการเกิดฟิล์มในช่วงนี้เป็นการสับเตอร์ของไอออนที่มีพลังงานสูง เมื่อความดันสูงขึ้นพลังงานไอออนลดลงเนื่องจากการชนในบริเวณซีททำให้เกิดการตกสะสมของไอออนพลังงานต่ำ ทำให้ผิวฟิล์มมีความขรุขระขึ้น

จากการศึกษาผลงานวิจัยของ W.S. Liew และคณะ [25] ที่สังเคราะห์ฟิล์ม DLC ที่อัตราส่วนของแก๊สมีเทนต่อแก๊สไฮโดรเจนเท่ากับ 0.8% 1.0% 3.0% และ 5.0% รูปที่ 2.17 แสดงผลการศึกษาลักษณะผิวหน้าฟิล์มด้วย SEM พบว่าลักษณะพื้นผิวของฟิล์มที่อัตราส่วนของ 0.8% และ 1.0% มีลักษณะเป็นพหุผลึก (Polycrystalline) ส่วนที่อัตราส่วนของแก๊สมีเทนต่อแก๊สไฮโดรเจน 3.0% ผิวหน้าฟิล์มมีลักษณะคล้ายลูกบอล (Ball-like structure) ขนาด 3 - 4 μm และที่ 5.0% ผิวหน้าฟิล์มมีลักษณะเป็นดอกกะหล่ำ (Cauliflower-like structure) ขนาด 8 - 10 μm และมีเกรนขนาดเล็กผสม เนื่องจาก sp^3 แสดงลักษณะเป็นผลึกมากกว่า sp^2 ดังนั้นจึงเชื่อว่าตัวอย่าง Si1 ที่ 0.8% และ Si2 ที่ 1.0% มีพันธะ sp^3 มากกว่า Si3 ที่ 2.0% และ Si4 ที่ 5.0% ซึ่งแสดงลักษณะของอสัณฐานมากกว่า



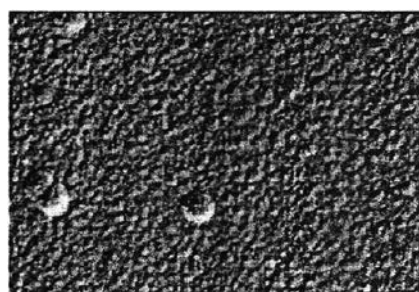
Si1 (0.8%)



Si2 (1.0%)



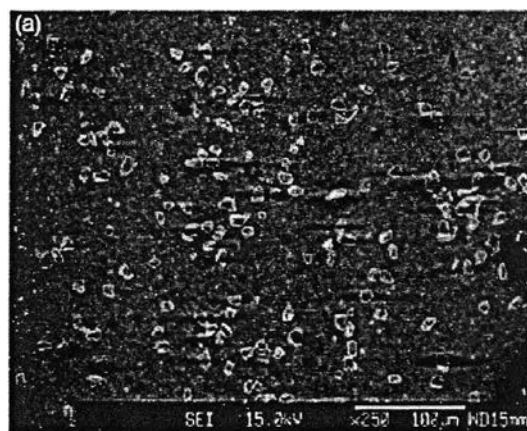
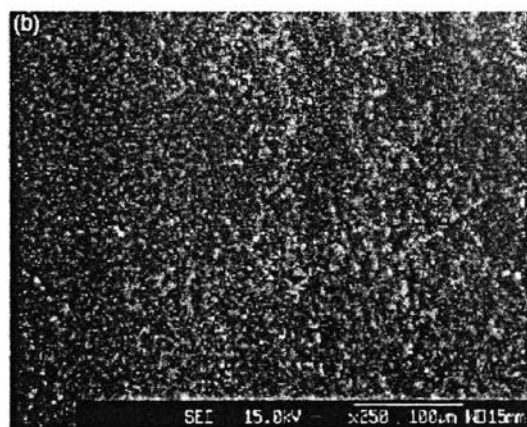
Si3 (3.0%)



Si4 (5.0%)

รูปที่ 2.17 แสดงผลลักษณะผิวหน้าฟิล์มที่ได้จากการทดลองของ W.S. Liew และคณะ [25]

จากการศึกษาผลงานวิจัยของ T. Shimizu และคณะ [26] ที่ทำการสังเคราะห์ฟิล์ม DLC ด้วยแก๊สผสมระหว่างแก๊สมีเทนกับแก๊สไฮโดรเจน กำลังไฟฟ้าที่ความถี่คลื่นวิทยุ 300 W อุณหภูมิอิเล็กตรอนมีค่าระหว่าง 0.52 - 2.46 eV รูปที่ 2.18 แสดงลักษณะพื้นผิวฟิล์มที่อุณหภูมิอิเล็กตรอน 0.52 และ 2.46 eV ที่อุณหภูมิอิเล็กตรอนเท่ากับ 0.52 eV จะปรากฏผลึกเพชร (Crystalline diamond) กระจายบนผิวหน้ามีขนาดประมาณ 20 μm แต่เมื่ออุณหภูมิอิเล็กตรอนเพิ่มขึ้นเป็น 2.46 eV ฟิล์มมีพื้นผิวเรียบขึ้น T. Shimizu อธิบายว่าเป็นผลเนื่องมาจากที่อุณหภูมิอิเล็กตรอนต่ำอนุภาคที่แตกตัวมากคือ CH_3 ปฏิกิริยาสำคัญที่เกิดขึ้นในระบบคือ $\text{CH}_4 \rightarrow \text{CH}_3 + \text{H}$ ในขณะที่การแตกตัวของ CH_4 เป็นอนุภาค CH_2 ถูกจำกัด ซึ่งเชื่อว่าอนุภาค CH_3 เป็นอนุภาคสำคัญที่เสริมให้เกิดเพชรขึ้น ในขณะที่อนุภาค CH_2 เป็นอนุภาคที่เสริมให้เกิดแกรไฟต์ขึ้น [1,17]

(a) $T_e = 0.52 \text{ eV}$ (b) $T_e = 2.46 \text{ eV}$

รูปที่ 2.18 พื้นผิวของฟิล์ม DLC จากการทดลองของ T. Shimizu และคณะ [26]

2.7 รามานสเปกโทรสโกปี

2.7.1 หลักการกระเจิงของรามาน

รามานสเปกโทรสโกปี (Raman spectroscopy) ใช้หลักการกระเจิงของรามาน (Raman scattering) เพื่อจำแนกโมเลกุลและโครงสร้างของสาร การกระเจิงของรามานเกิดจากการชนกันแบบไม่ยืดหยุ่น (Inelastic scattering) ของโฟตอนกับโมเลกุลของสารตัวอย่าง [33] ความถี่ของโฟตอนที่กระเจิงออกมานั้นมีการเปลี่ยนแปลงจากโฟตอนตกกระทบเล็กน้อย ในกรณีที่โมเลกุลที่ได้รับพลังงานจากโฟตอน ขึ้นไปอยู่ที่สภาวะเร้าและกลับลงมาสู่สภาวะพื้น แสงที่กระเจิงออกมามีความถี่สูงกว่าแสงตกกระทบเรียกว่าการกระเจิงแบบนี้ว่า แบบสโตกส์ (Stokes) ส่วนในกรณีที่แสงที่กระเจิงออกมามีความถี่ต่ำกว่าแสงตกกระทบเรียกว่าการกระเจิงแบบนี้ว่า แบบแอนติสโตกส์ (Anti-Stokes)

โมเลกุลที่ให้เส้นสเปกตรัมรามานได้นั้น โมเลกุลจะเกิดการบิดเบี้ยว (Distortion) อันเนื่องมาจากการกระจายของกลุ่มหมอกอิเล็คตรอนรอบพันธะในโมเลกุลตามด้วยการกระเจิงแสงขณะกลับสู่สภาวะพื้น โมเลกุลจะอยู่ในสภาพบิดเบี้ยวได้เป็นผลจากการที่โมเลกุลถูกโพลาไรซ์และเกิดการเหนี่ยวนำให้เกิดสภาพขั้วขึ้นชั่วคราว ประสิทธิภาพของการเกิดอันตรกิริยานี้ขึ้นกับสภาพโพลาไรซ์ (Polarizability; α) ของโมเลกุล ซึ่งมีผลอย่างมากต่อการเกิดการกระเจิงและการเลื่อน รามาน (Raman shift) นอกจากนี้การบิดเบี้ยวของโมเลกุลจะเหนี่ยวนำให้เกิดโมเมนต์ขั้วคู่ (dipole moment; μ) ซึ่งแปรผันโดยตรงกับความเข้มสนามไฟฟ้า (E) และสภาพโพลาไรซ์ของพันธะ

$$\mu = \alpha E \quad (2.18)$$

ที่ตำแหน่งสมมูลของนิวเคลียส สภาพโพลาไรซ์มีค่า α_0 ที่ระยะห่างจากตำแหน่งสมมูล Δr สภาพโพลาไรซ์จะเป็น

$$\alpha = \alpha_0 + \left(\frac{\partial \alpha}{\partial r} \right) \Delta r \quad (2.19)$$

เมื่อพจน์ $\left(\frac{\partial \alpha}{\partial r} \right)$ แสดงการเปลี่ยนแปลงสภาพโพลาไรซ์เมื่อเปลี่ยนแปลงตำแหน่ง ในกรณีที่โมเลกุลหมุนหรือสั่น สามารถเขียน Δr เป็นฟังก์ชันของความถี่ของการสั่น ω , ของโมเลกุลและเวลา t

$$\Delta r = r_0 \cos(\omega_v t) \quad (2.20)$$

เมื่อ r_0 เป็นอัมพลิจูดสูงสุดของการสั่น เมื่อโฟตอนของแสงตกกระทบมีความถี่ ω_{ex} จะเหนี่ยวนำให้เกิดสนามไฟฟ้า E ที่เป็นฟังก์ชัน

$$E = E_0 \cos(\omega_{ex} t) \quad (2.21)$$

เมื่อ E_0 คือ อัมพลิจูดของการสั่น เมื่อแทนสมการที่ 2.19, 2.20 และ 2.21 ลงในสมการที่ 2.18 จะได้ว่า

$$\mu = \alpha_0 E_0 \cos(\omega_{ex} t) + E_0 r_0 \left(\frac{\partial \alpha}{\partial r} \right) \cos(\omega_v t) \cos(\omega_{ex} t) \quad (2.22)$$

จัดรูปสมการที่ 2.19 ใหม่เป็น

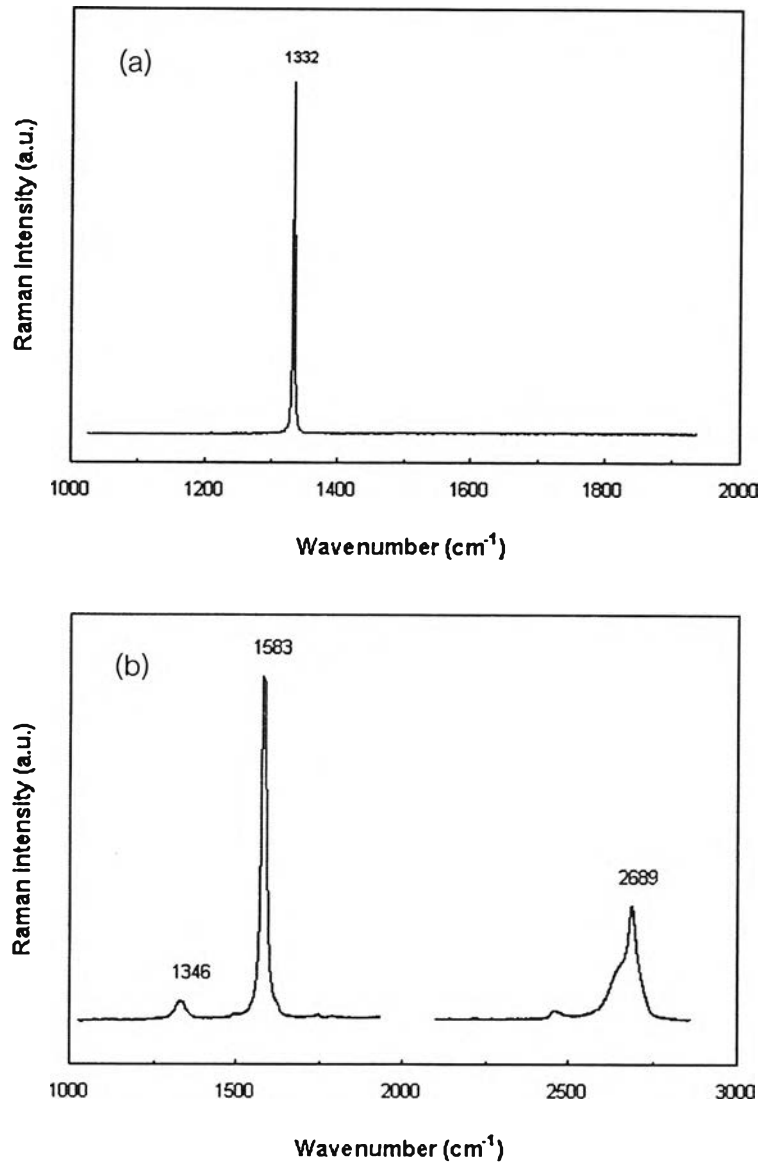
$$\begin{aligned} \mu &= \alpha_0 E_0 \cos(\omega_{ex} t) + \frac{E_0}{2} r_0 \left(\frac{\partial \alpha}{\partial r} \right) \cos((\omega_{ex} - \omega_v) t) \\ &+ \frac{E_0}{2} r_0 \left(\frac{\partial \alpha}{\partial r} \right) \cos((\omega_{ex} + \omega_v) t) \end{aligned} \quad (2.23)$$

พิจารณาพจน์แรกในสมการที่ 2.23 ความถี่ของโฟตอนตกกระทบเท่ากับความถี่ของโฟตอนที่กระเจิงออกมา แสดงถึงการกระเจิงแบบยืดหยุ่น ส่วนในพจน์ที่ 2 โฟตอนที่กระเจิงออกมามีความถี่ลดลง $(\omega_{ex} - \omega_v)$ แสดงถึงมีการปลดปล่อยของโฟนอน (Emission phonon) ที่ความถี่ ω_v เรียกว่า Stokes lines ในพจน์สุดท้ายโฟตอนที่กระเจิงออกมามีความถี่สูงขึ้น $(\omega_{ex} + \omega_v)$ แสดงถึงมีการดูดกลืนของโฟนอน (Absorption phonon) ที่ความถี่ ω_v เรียกว่า Anti-Stokes lines ทั้งพจน์ที่ 2 และ 3 แสดงว่า โฟนอนมีการเปลี่ยนแปลงความถี่มากขึ้นหรือลดลง ผลต่างนี้เรียกว่าการเลื่อนของรามาน (Raman shift) มักแสดงผลในรูปของเลขคลื่น (Wave number; cm^{-1}) เห็นได้ว่าโมเลกุลที่ตอบสนองต่อการกระเจิงแบบรามานนั้น สภาพโพลาไรซ์ของโมเลกุลดังกล่าวจะเป็นฟังก์ชันของระยะทาง นั่นคือ เทอม $\frac{\partial \alpha}{\partial r}$ ไม่เป็นศูนย์ [32, 33]

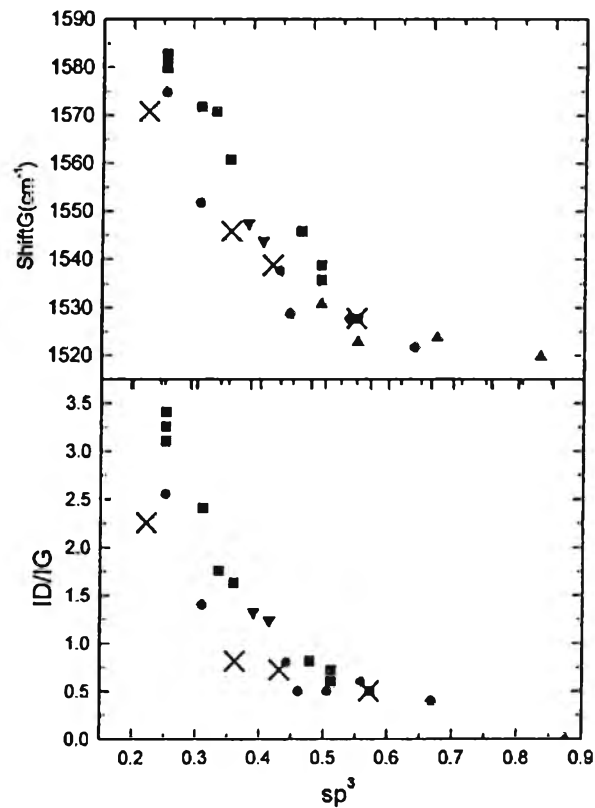
2.7.2 รามานสเปกโทรสโกปีของฟิล์มบางคาร์บอนคล้ายเพชร (DLC)

รามานสเปกโทรสโกปี เป็นเทคนิคที่มีประโยชน์อย่างมากในการวิเคราะห์โครงสร้างและพันธะของฟิล์มคาร์บอนชนิดต่างๆ สเปกตรัมรามานของคาร์บอนในโครงสร้างของเพชรปรากฏพีคเดี่ยว (Single sharp peak) ที่ตำแหน่งเลขคลื่น 1332 cm^{-1} ส่วนสเปกตรัมรามานของแกรไฟต์ที่มีโครงสร้างเป็นผลึก (Crystalline graphite) ปรากฏพีคที่ตำแหน่งเลขคลื่น 1580 cm^{-1} กำหนดให้เป็นพีค 'G' (Graphite) ส่วนแกรไฟต์ที่มีโครงสร้างแบบอสัณฐาน (Disordered graphite) ปรากฏพีคที่ตำแหน่งเลขคลื่น 1350 cm^{-1} กำหนดเป็นพีค 'D' (Disordered) [34] รูปที่ 2.19 แสดงลักษณะของสเปกตรัมของรามานของคาร์บอนโครงสร้างต่างๆ

A.C.Ferrari และคณะ [35] ได้ศึกษาความสัมพันธ์ระหว่างโครงสร้างของฟิล์มคาร์บอนแบบอสัณฐานกับสเปกตรัมรามานในช่วงคลื่นแสงที่ตามองเห็น (Visible light; 514.5 nm) พบว่าพันธะ sp^2 เป็นตัวแปรสำคัญในการกระเจิงแบบรามานเนื่องจากพันธะ π มีพลังงานพันธะต่ำกว่าพันธะ σ ใน sp^3 จึงตอบสนองต่อสนามไฟฟ้าจากแสงตกกระทบได้มากกว่าพื้นที่หน้าตัดรามาน (Raman cross-section) ของ sp^2 มากกว่า sp^3 ประมาณ 50-250 เท่า ดังนั้นสเปกตรัมของรามานจึงขึ้นกับคุณภาพและการจัดเรียงตัวของ sp^2 สเปกตรัมของรามานของคาร์บอนจะขึ้นกับความยาวและมุมพันธะที่คาร์บอนจับกัน การจัดเรียงตัวของคาร์บอนในแบบสายโซ่ หรือวงแหวนอโรมาติก และรวมถึงอัตราส่วนของ sp^2/sp^3 ด้วย พีค G เกิดจากการสั่นแบบยืดของ sp^2 ทั้งในรูปของ C=C หรือในวงแหวนอโรมาติก ส่วนพีค D นั้นเกิดจากการสั่นแบบยืดขยายของวงแหวนอโรมาติก [14,33,35] แต่ sp^2 และ sp^3 ใน DLC มีอัตราส่วนสัมพันธ์กัน ความสัมพันธ์ระหว่าง sp^3 ที่วัดได้โดยตรงจากเทคนิค Electron Energy Loss Spectroscopy (EELS) กับตำแหน่งพีค G และสัดส่วน I_D/I_G ในสเปกตรัมรามาน มีความสัมพันธ์ดังรูปที่ 2.20 ตำแหน่งพีค G เลื่อนลงเมื่อ sp^3 เพิ่มขึ้น สอดคล้องกับสัดส่วน I_D/I_G ที่ลดลง จาก 2.0 เป็น 0.2 เมื่อสัดส่วน sp^3 เพิ่มขึ้นจาก 0 เป็น 0.7%



รูปที่ 2.19 สเปกตรัมรามานของ (a) เพชรธรรมชาติ (b) ผลึกแกรไฟต์ [36]

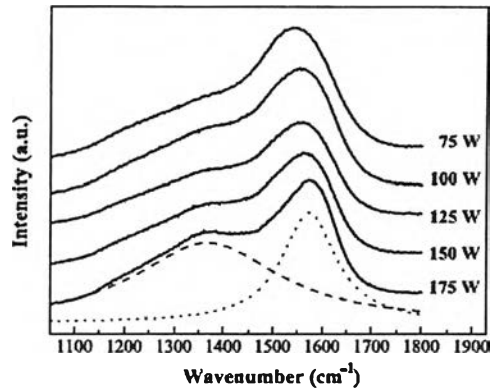


รูปที่ 2.20 ความสัมพันธ์ของตำแหน่งพีก G และสัดส่วน I_D/I_G กับ sp^3 [35]

2.7.3 การวิเคราะห์ลักษณะโครงสร้างของฟิล์ม DLC

ในหัวข้อนี้เป็นการศึกษาลักษณะโครงสร้างของฟิล์ม DLC จากตัวอย่างงานวิจัยที่สังเคราะห์ฟิล์ม DLC ด้วยเทคนิค RF-PECVD ที่กล่าวไว้แล้วในหัวข้อ 2.4

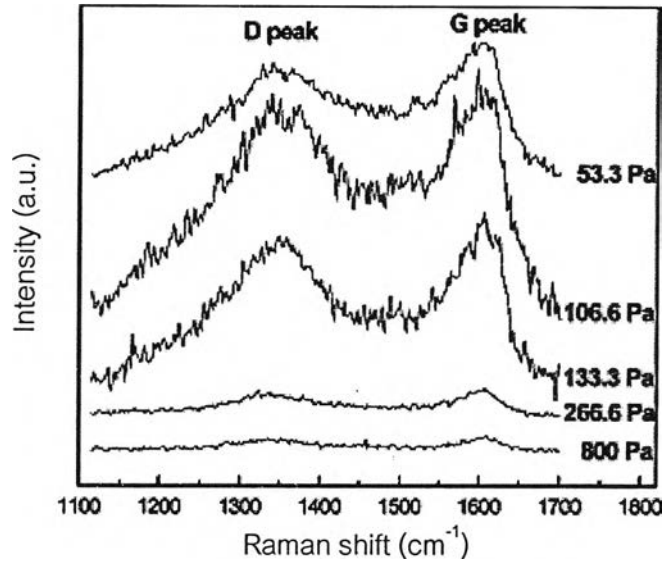
S. C. Won และคณะ [23] สังเคราะห์ฟิล์มด้วยกำลังไฟฟ้าที่ความถี่คลื่นวิทยุระหว่าง 25-200 W รูปที่ 2.22 แสดงสเปกตรัมรามานที่ปรากฏพีก D และพีก G ที่ตำแหน่งเลขคลื่น 1368 และ 1573 cm^{-1} ตามลำดับ ตำแหน่งพีก G เพิ่มขึ้นจาก 1534 ไป 1573 cm^{-1} และอัตราส่วน I_D/I_G เพิ่มขึ้นจาก 0.34 ไป 1.94 แสดงถึงปริมาณ sp^3 ในฟิล์มลดลงบ่งชี้ถึงความเป็นแกรไฟต์ (Graphitization) ของฟิล์ม DLC และเมื่อทำการวัดสัมประสิทธิ์ความเสียหายด้วยเครื่อง AFM ในโหมดที่วัดสัมประสิทธิ์ความเสียหายพบว่า สัมประสิทธิ์ความเสียหายลดลงเมื่อกำลังไฟฟ้าที่ความถี่คลื่นวิทยุเพิ่มขึ้น



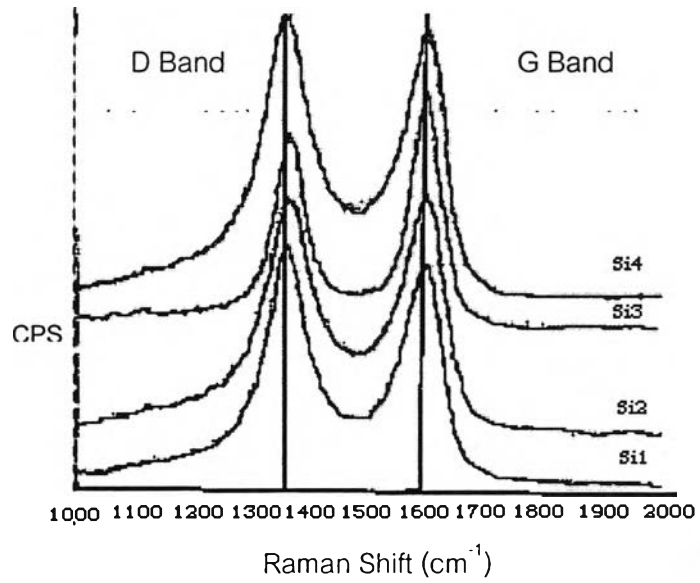
รูปที่ 2.21 สเปกตรัมรามานของฟิล์ม DLC จากการทดลอง
ของ S. C. Won และคณะ [23]

Y.T. Kim [24] สังเคราะห์ฟิล์ม DLC ด้วยกำลังไฟฟ้าที่ความถี่คลื่นวิทยุระหว่าง 200 - 400 W ที่ความดัน 0.4 - 6.0 torr (53.3 - 800 Pa) ด้วยอัตราส่วนของแก๊สไฮโดรเจนต่อแก๊สมีเทนคงที่ รูปที่ 2.22 แสดงสเปกตรัมรามาน พบว่าเมื่อความดันเพิ่มขึ้นจาก 0.4 - 0.8 torr (53.3 - 106.6 Pa) อัตราส่วน I_D/I_G ลดลงจากประมาณ 1.00 เป็น 0.85 และ ตำแหน่งพีก G เลื่อนจากเลขคลื่น 1602 cm^{-1} ลงไปที่เลขคลื่น 1592 cm^{-1} บ่งบอกถึงพันธะ sp^3 ที่เพิ่มขึ้น แต่เมื่อเพิ่มความดันขึ้นอีก อัตราส่วน I_D/I_G เพิ่มขึ้นเป็น 0.95 และ ตำแหน่งพีก G เลื่อนขึ้นไปเลขคลื่น 1606 cm^{-1} บ่งบอกถึงพันธะ sp^3 ที่ลดลง เป็นผลมาจากที่ความดันสูงขึ้น อะตอมไฮโดรเจนที่มากขึ้นจะเข้าไปชนเอาส่วนที่เป็นแกรไฟต์ หรือ sp^2 ซึ่งมีพลังงานพันธะต่ำกว่า [33] ให้ออกออกจากผิวฟิล์ม

รูปที่ 2.23 แสดงผลการวิเคราะห์ลักษณะโครงสร้างของฟิล์ม DLC จากการทดลองของ W.S.Liew และคณะ [25] อัตราส่วนของแก๊สมีเทนต่อแก๊สไฮโดรเจนเท่ากับ 0.8% 1.0% 3.0% และ 5.0% สเปกตรัมรามานของฟิล์ม DLC ปรากฏพีก D ระหว่างเลขคลื่น 1355 cm^{-1} ถึง 1360 cm^{-1} และพีก G ระหว่างเลขคลื่น 1580 cm^{-1} ถึง 1590 cm^{-1}

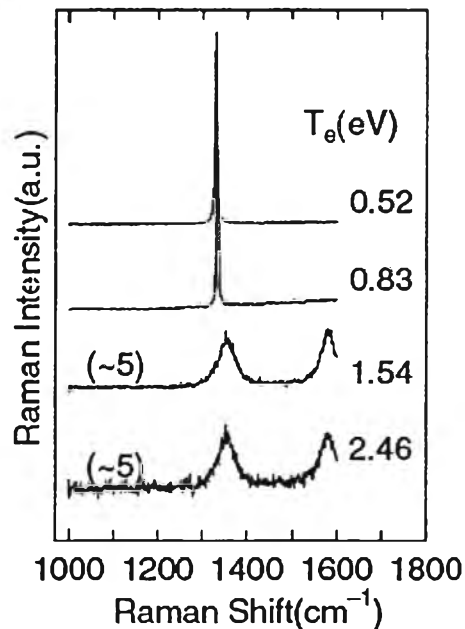


รูปที่ 2.22 สเปกตรัมรามานจากการทดลองของ Y.T. Kim [36]



รูปที่ 2.23 สเปกตรัมรามานที่ได้จากการทดลองของ W.S. Liew และคณะ [25]

รูปที่ 2.23 แสดงผลการวิเคราะห์ลักษณะโครงสร้างของฟิล์ม DLC จากการทดลองของ T. Shimizu และคณะ [26] เขาพบว่าสเปกตรัมรามานของฟิล์มที่สังเคราะห์ที่อุณหภูมิลดลงของ 0.52 eV ปรากฏพีกเดี่ยวแหลมที่เลขคลื่น 1332 cm^{-1} เมื่ออุณหภูมิลดลงเพิ่มขึ้น 2.46 eV มีพีคฐานกว้างปรากฏที่เลขคลื่นประมาณ 1332 cm^{-1} และ 1590 cm^{-1} ซึ่งแสดงถึงความเป็นแกรไฟต์ในฟิล์ม ลักษณะของแกรไฟต์ที่ปรากฏในสเปกตรัมรามาน เป็นผลเนื่องมาจากที่อุณหภูมิลดลงต่ำ อนุโมลที่แตกตัวมากคือ CH_3 ปฏิกิริยาสำคัญที่เกิดขึ้นคือ $\text{CH}_4 \rightarrow \text{CH}_3 + \text{H}$ การแตกตัวของ CH_4 เป็นอนุโมล CH_2 ถูกจำกัด ซึ่งเชื่อว่าอนุโมล CH_3 เป็นอนุโมลสำคัญที่เสริมให้เกิดเพชรขึ้น ในขณะที่อนุโมล CH_2 เป็นอนุโมลที่เสริมให้เกิดแกรไฟต์ขึ้น [1,17]



รูปที่ 2.24 สเปกตรัมรามานจากการทดลองของ T. Shimizu และคณะ [26]